

**UNIVERSITÀ POLITECNICA DELLE MARCHE**

**FACOLTÀ DI INGEGNERIA**



*Corso di Laurea Triennale in Ingegneria Elettronica*

***Sviluppo di algoritmi per l'identificazione e tracking di ostacoli mediante camera ad eventi***

***Development of algorithms to identify and track obstacles through event cameras***

RELATORE:  
PROF. ADRIANO MANCINI

LAUREANDO:  
MATTIA DIGNANI

**ANNO ACCADEMICO 2019/2020**



# INDICE

SOMMARIO	1
1 INTRODUZIONE	
1.1 CAMERE AD EVENTI	6
1.1.1 FUNZIONAMENTO	6
1.1.2 VANTAGGI E SVANTAGGI	10
1.1.3 LA MATEMATICA ALLA BASE DELLE CAMERE AD EVENTI	11
1.1.4 MODELLI	12
1.1.5 APPLICAZIONI	15
1.2 YOLO: RILEVAMENTO DI OGGETTI IN TEMPO REALE	15
1.3 GOOGLE COLABORATORY	17
2 STRUMENTI UTILIZZATI	
2.1 ROS	
2.1.1 INTRODUZIONE	21
2.1.2 FILOSOFIA DEL ROS	22
2.1.3 CATKIN	22
2.1.4 ROS MASTER	24
2.1.5 ROS NODE	25
2.1.6 ROS TOPICS	26
2.1.7 ROS MESSAGES	27
2.1.8 ROS LAUNCH	28
2.1.9 ROS PACKAGES	28
2.1.9.1 package.xml	29
2.1.9.2 CMakeLists.txt	29
2.1.10 ROS SERVICES	30
2.1.11 ROS ACTIONS	31
2.1.12 ROS TIME	32

2.1.13 ROS BAGS	32
2.1.14 RQT IMAGE VIEW	33
2.2 INSTALLAZIONE DEL ROS	33
2.3 PYTHON	35
2.4 FFMPEG	35
3 SIMULATORE ESIM	
3.1 INTRODUZIONE	36
3.2 ADAPTIVE SAMPLING	37
3.2.1 VANTAGGI DELL'ADAPTIVE SAMPLING	38
3.3 ARCHITETTURA DELL'ESIM	39
3.4 STRATEGIA DELL'ESIM	40
3.5 INSTALLAZIONE	42
4 RISULTATI	
4.1 FASI PRELIMINARI	44
4.1.1 DOWNLOAD DEL VIDEO	44
4.1.2 PRE-PROCESSING DEL VIDEO PER ESIM	45
4.1.3 SIMULAZIONE DEGLI EVENTI CON ESIM	46
4.2 VISUALIZZAZIONE DEGLI EVENTI SIMULATI	47
4.3 ALGORITMO FINALE	49
CONCLUSIONI	57
RINGRAZIAMENTI	59
BIBLIOGRAFIA	61

# SOMMARIO

La stesura della tesi è basata sulla spiegazione e comprensione delle potenzialità che le camere ad eventi possono mostrare, grazie all'utilizzo di strumenti come il simulatore ESIM e un algoritmo che permette il tracking di ostacoli attraverso le camere ad eventi.

La tesi mostra i passaggi necessari per effettuare una simulazione con ESIM e lo sviluppo dell'algoritmo finale, obiettivo principale del progetto:

- Il capitolo 1 verterà sull'introduzione dell'oggetto di lavoro, ovvero le camere ad eventi: verrà spiegato il loro funzionamento, le differenze con le camere tradizionali, i relativi vantaggi e svantaggi e le applicazioni che potrebbero avere in futuro.

Inoltre viene introdotto brevemente YOLOv3, una rete neurale che permette la rilevazione degli oggetti in movimento;

- Nel capitolo 2 verranno mostrati gli strumenti necessari e di conseguenza utilizzati per effettuare una simulazione con il simulatore ESIM;
- Il capitolo 3 è incentrato sulla figura del simulatore ESIM, utile per la simulazione di eventi quando non si dispone di una camera ad eventi;
- Il capitolo 4 tratterà i risultati che si otterranno e la spiegazione dell'algoritmo finale;
- La conclusione porrà fine alla tesi, analizzando il lavoro svolto.

# CAPITOLO 1

## Introduzione

### 1.1 Le camere ad eventi

Una camera ad eventi è un sensore che acquisisce l'immagine attraverso la rilevazione di luminosità che impatta in ogni pixel all'interno della camera: essi lavorano in modo dipendente e asincrono, segnalando i cambiamenti di luminosità a mano a mano che si verificano e restando in silenzio in caso contrario [2][10]. Le camere ad eventi forniscono vantaggi molto importanti e significativi rispetto alle camere tradizionali, che utilizzano un otturatore ad una frequenza di campionamento fissa (clock) per acquisire l'immagine.

Si può quindi definire un evento come un cambiamento asincrono della luminosità di un pixel che può essere positivo o negativo in relazione ad un aumento o diminuzione della luce che impatta su di esso. L'insieme degli eventi genera un flusso, rappresentate l'output della camera ad eventi, che registra le coordinate del pixel, l'istante di tempo in cui avviene la variazione di luminosità e il tipo di variazione.

#### 1.1.2 Funzionamento

Come accennato prima, le camere ad eventi sono sensori innovativi che permettono di avere vantaggi importantissimi parlando di qualità e riduzione di disturbi rispetto alle camere tradizionali.

Ne è un esempio il Dynamic Vision Sensor (figura 1), un sensore per fotocamera di iniLabs, che inventa e produce tecnologia neuromorfica per la ricerca.



Figura 1: Camera DVS. Immagine tratta da [1]

A differenza delle camere tradizionali che utilizzano il principio del *frame*, le camere ad eventi rispondono al cambiamento di luminosità nella scena in modo asincrono e indipendente per ogni pixel. L'output di una camera ad eventi è un flusso di eventi. Ogni evento fa riferimento ad un pixel che possiede una certa magnitudo in un certo istante di tempo.

Questa codifica è ispirata dalla natura dei percorsi visivi biologici, o meglio: il funzionamento della camera ad eventi è stato ideato osservando e studiando l'acquisizione delle immagini della retina umana. Ogni pixel memorizza l'intensità della luce ogni volta che la camera invia un evento e monitora continuamente la variazione di magnitudo sufficiente da questo valore memorizzato. Quando la variazione va oltre un certo valore di soglia, la telecamera invia un evento, che viene trasmesso dal chip con la posizione  $(x, y)$ , il tempo  $t$  e la polarità  $p$  della modifica, rappresentata con 1 bit: se la variazione di luminosità è positiva avremo "ON", altrimenti "OFF" (figura 2).

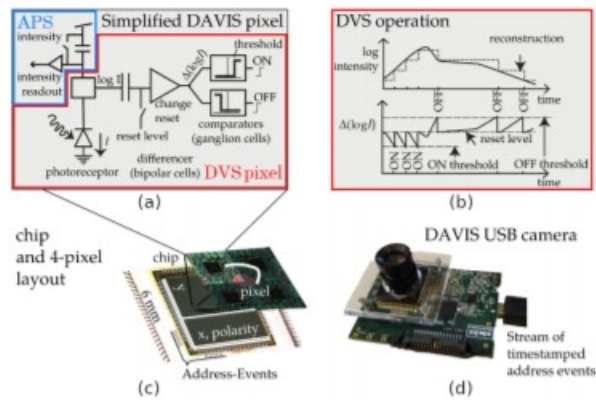


Figura 2: Riassunto di una camera DAVIS. Essa comprende un dynamic vision sensor (DVS) e un active pixel sensor (APS) nello stesso array di pixel, condividendo lo stesso fotodiodo in ogni pixel. (a) Diagramma del circuito semplificato del pixel DAVIS. (Il pixel DVS è in rosso, il pixel APS è in blu). (b) Schematizzazione delle operazioni del pixel DVS nel convertire la luce in eventi. (c)-(d) Chip DAVIS e camera USB. (e) Un quadrato bianco su un disco rotante nero visto dal sensore DAVIS che produce frames in scala di grigi e una spirale di eventi nello spazio e nel tempo. Gli eventi nello spazio e nel tempo sono codificati con colori: dal verde (passato) al rosso (presente). (f) Frame ed eventi sovrapposti in una scena.

Il flusso di eventi (figura 3), viene poi trasmesso dall'array di pixel verso l'esterno attraverso un bus di output condiviso che utilizza un protocollo di trasferimento dei dati chiamato AER (*Address-Event Representation*).

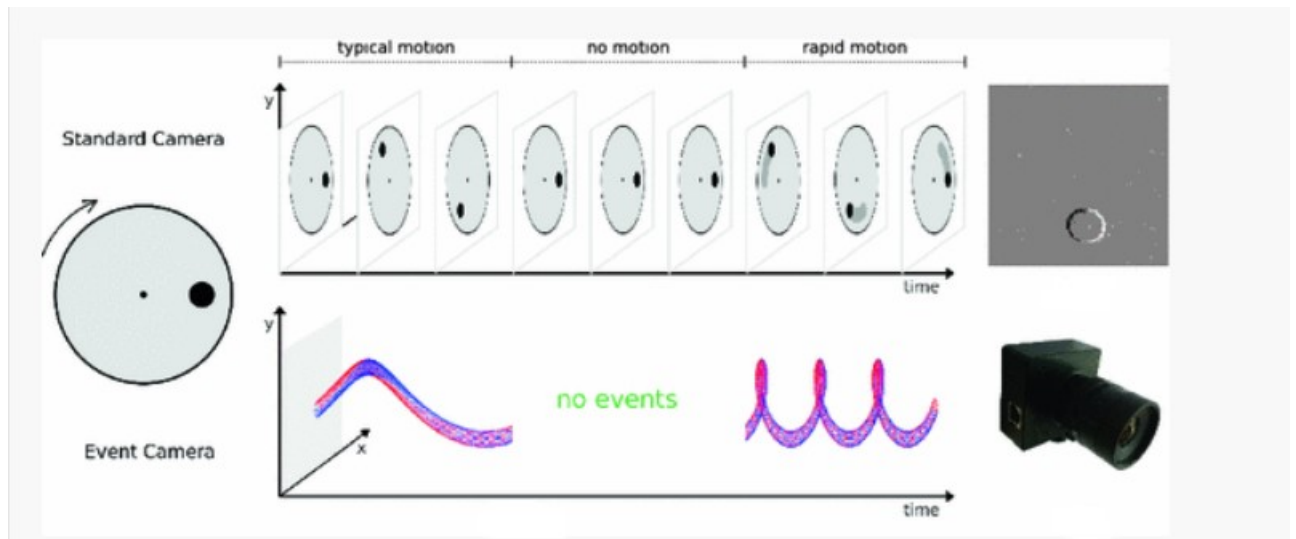


Figura 3: metodo di acquisizione delle immagini di una camera tradizionale e ad eventi. Immagine tratta da [2]

A causa delle numerose variazioni di luminosità che possono accadere durante l'acquisizione di una scena reale, si possono avere delle trasmissioni di dati ad



una frequenza che va dai 2 MHz fino ai 1200MHz che potrebbero saturare il bus. Questa larghezza di banda dipende dal chip e dal tipo di hardware utilizzato. Ogni pixel ha al suo interno un modulatore della frequenza di campionamento dell'intensità della luce. Questo è necessario perché una camera ad eventi è un sensore guidato dai dati: il loro output dipende dalla variazione di luminosità, quindi maggiore è la variazione di luminosità della scena, maggiore sarà la frequenza di campionamento del modulatore presente all'interno di ogni pixel aumentandone la frequenza di invio di dati attraverso il protocollo AER, in modo tale da catturare l'immagine nel modo corretto. Tutti gli eventi sono campionati con una frequenza dell'ordine dei microsecondi e vengono trasmessi con una latenza molto bassa (dell'ordine di microsecondi). Questi sono alcuni dei fattori che permettono alle camere ad eventi di avere bassa latenza e assenza di motion blur. La quantità di luce che irradia un singolo pixel in una scena è composta da due parti: l'illuminazione della scena stessa e la riflettanza della luce, come illustrato in figura 4

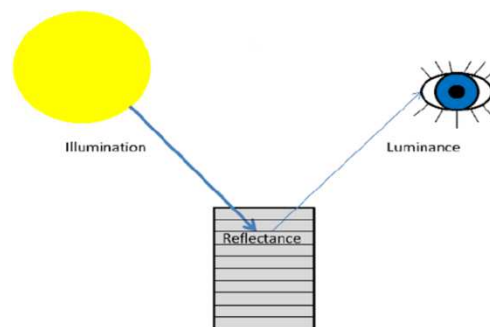


Figura 4: Riflettanza. Immagine tratta da [5]

### 1.1.3 VANTAGGI E SVANTAGGI

I vantaggi che queste camere possiedono sono importanti, poiché hanno prestazioni migliori rispetto alle camere tradizionali:

- *Risoluzione temporale molto alta (dell'ordine dei microsecondi)*: il monitoraggio dei cambiamenti della luminosità è veloce nella circuiteria analogica, mentre la lettura degli eventi è digitale seguendo un clock di 1 MHz (ad esempio, gli eventi vengono campionati e rilevati con una risoluzione dell'ordine dei microsecondi). Quindi le camere ad eventi riescono ad evitare il *motion blur*, tipico disturbo delle camere tradizionali quando si acquisiscono scene con movimenti molto veloci.
- *Bassa latenza*: nelle camere ad eventi, ogni pixel lavora in maniera indipendente e quindi non c'è bisogno di aspettare il tempo di esposizione dell'intero frame come accade con le camere tradizionali: appena la variazione della luminosità supera la soglia, essa viene rilevata e l'evento viene trasmesso in un tempo molto ristretto. Infatti la latenza è molto bassa (intorno ai 10  $\mu$ s);
- *Range dinamico molto alto*: detto anche HDR (High Dynamic Range), con il range dinamico di 120dB delle camere ad eventi contro i 60dB delle camere tradizionali è possibile l'acquisizione e il riconoscimento di oggetti anche in condizioni di luce molto sfavorevoli sia di giorno che di notte. Questo è possibile grazie al fatto che i fotoricettori lavorano in scala logaritmica e che ogni pixel lavora in maniera indipendente.
- *Basso consumo di energia*: le variazioni di luminosità generano la trasmissione di dati e quindi l'energia viene impiegata solo per processare il cambiamento di luminosità del pixel, riducendo così il consumo di energia (intorno ai 10  $\mu$ W).

Le camere ad eventi hanno caratteristiche innovative applicabili alla ricerca nella progettazione e realizzazione di nuovi algoritmi che ne accentuino le loro

straordinarie possibilità di utilizzo. I problemi ancora irrisolti sono il loro prezzo sul mercato, ancora troppo elevato ed una risoluzione molto bassa (come il sensore DAVIS346 che costa circa 5000€ [4] ed ha una risoluzione di 346X260). Inoltre, le attuali camere ad eventi hanno notevoli limitazioni, ad esempio un rapporto segnale/rumore molto basso, necessitano di complesse configurazioni e di conseguenza richiedono l'intervento di esperti per il loro corretto utilizzo. Questi problemi rendono difficile la comprensione del vero potenziale delle camere ad eventi per l'impiego in vari campi, come ad esempio la motion analysis (umana e animale).

#### 1.1.4 LA MATEMATICA ALLA BASE DELLE CAMERE AD EVENTI

La generazione di eventi è basata su formule matematiche e variabili che dipendono dalla camera ad eventi [2]:

- La *luminosità* è il logaritmo della fotocorrente generata da un fotoricettore quando la luce impatta sul singolo pixel indipendente della camera, descritta dalla formula  $L = \log(I)$ . In assenza di disturbi, un evento  $e_k = (x_k, t_k, p_k)$  si verifica al pixel  $x_k = (x_k, y_k)^T$  in un tempo  $t_k$  quando l'incremento di luminosità dell'evento del pixel, definito come

$$\Delta L(x_k, t_k) = L(x_k, t_k) - L(x_k, t_k - \Delta t_k) \quad (1.1)$$

raggiunge il *contrasto di soglia*  $\pm C$ ,

$$\Delta L(x_k, t_k) = p_k C \quad (1.2)$$

dove  $C > 0$ ,  $\Delta t_k$  è il tempo trascorso dall'ultimo evento dello stesso pixel e la polarità  $p_k \in \{+1, -1\}$  è il segno del cambiamento della luminosità: +1 se la luminosità aumenta, -1 se decrementa.

- La variabile  $C$ , chiamata *contrasto*, è determinata dalle correnti di bias del pixel e sono prodotte da un generatore di bias programmato digitalmente

nel chip. Il contrasto  $C$  può essere stimato tramite la conoscenza di queste correnti di bias. Nelle tipiche camere DVS, le soglie vengono impostate tra il 10% e il 50% della variazione dell'illuminazione. Ci sono anche delle applicazioni delle camere DVS con un alto gain dei fotoricettori che operano a soglie molto basse (anche dell'1%). Ad ogni modo, esse vengono usate in circostanze molto favorevoli con condizioni meteo ideali e con un'illuminazione molto chiara. Il limite inferiore del contrasto di soglia è calcolato in base ai disturbi e alla variabilità tra pixel e pixel. Impostare un valore di  $C$  troppo basso comporta un aumento dei disturbi degli eventi che nascono da pixel con valori bassi di  $C$ .

- In un piccolo intervallo di tempo  $\Delta t_k$ , un incremento della luminosità può essere approssimato utilizzando l'espansione di Taylor,

$$\Delta L(x_k, t_k) \approx \frac{\partial L}{\partial t}(x_k, t_k) \Delta t_k \quad (1.3)$$

e quindi l'equazione (1.2) può essere formulata nel modo seguente:

$$\frac{\partial L}{\partial t}(x_k, t_k) \approx p_k C \Delta t_k \quad (1.4)$$

È importante notare che gli eventi della camera DVS sono scatenati da una variazione nella magnitudo della luminosità e non dal superamento della soglia da parte della derivata nel tempo della luminosità.

Assumendo che l'illuminazione sia costante linearizzando l'equazione (1.2) e assumendo che la luminosità sia costante, la causa della generazione di un evento è data dal movimento dei bordi. Per piccoli valori  $\Delta t$ , l'incremento dell'intensità (equazione (1.2)) può essere approssimato nel modo seguente:

$$\Delta L \approx -\nabla L \cdot v \Delta t \quad (1.5)$$

che è causato da un gradiente della luminosità  $\nabla L(x_k, t_k) = (\frac{\partial}{\partial x} L, \frac{\partial}{\partial y} L)^T$  che si muove con una velocità  $v(x_k, t_k)$  sul piano dell'immagine con uno spostamento  $\Delta x = v \Delta t$ . Nell'equazione (1.5), il prodotto scalare ci indica che se il movimento

è parallelo al bordo nessun evento è generato dal momento in cui  $v \cdot \Delta L = 0$ . Se invece, il movimento è perpendicolare al bordo,  $(v \perp \Delta L)$  gli eventi sono generati con frequenza più alta.

### 1.1.5 MODELLI

Il primo modello di camera ad eventi è stato sviluppato da Mahowald e Mead al Caltech negli anni che vanno dal 1986-1992 nel loro tesi di dottorato premiato con il premio Clauser [2]. Il sensore utilizzava il protocollo AER per trasportare gli eventi in uscita ed aveva pixel logaritmici con tre strati di retina Kufler. Malgrado ciò, aveva delle carenze:

1. la camera aveva dei pixel molto grandi che la rendevano poco utilizzabile nella pratica;
2. ogni superficie di retina avvolta da cavi aveva bisogno di una particolare tensione di bias che doveva essere impostata in modo molto preciso con l'uso di potenziometri;
3. ogni pixel aveva una risposta molto differente l'uno con l'altro;

Un modello molto più performante del precedente è la camera DVS. Essa è basata su una struttura a retina di silicio composta da due parti accoppiate tra loro: un fotoricettore a tempo continuo e un circuito di lettura resettato ad ogni campionamento di un pixel. Malgrado molti problemi possano essere risolti con l'analisi degli eventi generati da una camera DVS (ad esempio esaminando i cambiamenti di luminosità), alcuni necessitano un output statico (ad esempio la luminosità "assoluta"). L'ATIS (Asynchronous Time Based Image Sensor) (Figura 1.5), propone una struttura diversa: ogni pixel è composto da un subpixel DVS che a sua volta attiva un altro subpixel che legge l'intensità assoluta di luce. Il trigger resetta un condensatore attraverso un alto voltaggio. La carica di esso viene fatta diminuire attraverso un fotodiodo. Maggiore è la

luce, maggiore è la velocità con il quale il condensatore si scarica. L'intensità letta dall'ATIS fornisce due eventi codificando il tempo che passa tra i due voltaggi di soglia. In questo modo solo il pixel che cambia fornisce i nuovi valori di intensità. Maggiore è il cambiamento dell'illuminazione, più corto è il tempo tra questi due eventi. L'ATIS ha un notevole range dinamico statico (maggiore di 120dB) ma ad ogni modo presenta degli svantaggi. Il pixel ATIS ha un'area almeno doppia rispetto al pixel DVS e inoltre, nelle scene in oscurità, il tempo tra due eventi potrebbe essere molto lungo e la lettura dell'intensità degli stessi potrebbe essere interrotta da nuovi eventi che si presentano nel frattempo.

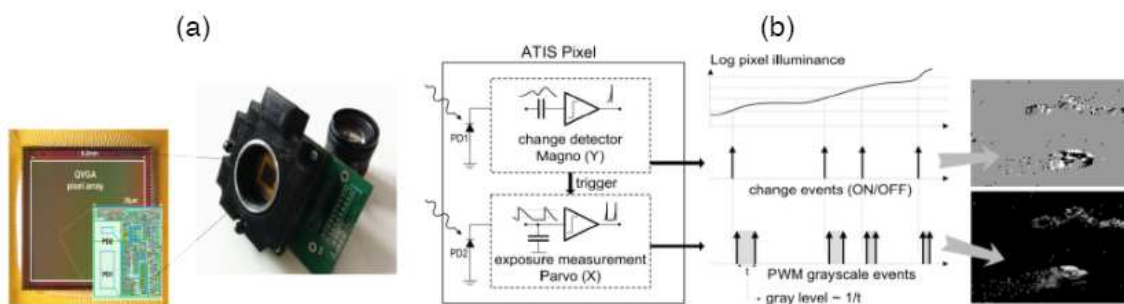


Figura 5: (a): Il sensore ATIS. Immagine tratta da [2]

Ultimo è il DAVIS (Dynamic and Active Pixel Vision Sensor) che combina un convenzionale "Active Pixel Sensor" (APS) e un pixel DVS insieme nello stesso pixel. Il vantaggio è che il circuito di lettura aumenta solo del 5% l'area della superficie del pixel DVS mantenendone le dimensioni contenute. Ad ogni modo, la frequenza di lettura dell'APS ha un limitato range dinamico (55dB) e come nelle camere standard, è ridondante se i pixel non cambiano

### **1.1.6 APPLICAZIONI**

Gli scenari tipici in cui le telecamere per eventi offrono vantaggi rispetto ad altre modalità di rilevamento includono sistemi di interazione in tempo reale, come la robotica o l'elettronica indossabile, in cui il funzionamento in condizioni di illuminazione, latenza e alimentazione non controllate sono importanti. Le telecamere ad eventi sono utilizzate per il rilevamento di oggetti, sorveglianza e monitoraggio e riconoscimento di oggetti / gesti. Sono anche vantaggiosi per la stima della profondità, la scansione 3D a luce strutturata, la stima del flusso ottico, la ricostruzione dell'immagine HDR, e simultanea Localizzazione e mappatura (SLAM). La visione basata sugli eventi è un campo di ricerca in crescita e altre applicazioni, come la rimozione delle sfocature delle immagini o il tracciamento delle stelle, appariranno quando le telecamere degli eventi saranno ampiamente disponibili.

### **1.2 YOLO: RILEVAMENTO DI OGGETTI IN TEMPO REALE**

YOLO (You Only Can Look Once) è un sistema di rilevamento di oggetti in tempo reale [11]. È stato sviluppato da Redmon e Farhadi nel 2015, durante il loro dottorato [12]. In questo progetto faremo riferimento alla versione YOLOv3. Il concetto di questa rete neurale è quello di formulare il rilevamento di oggetti come un singolo problema di regressione, direttamente dai pixel dell'immagine alle coordinate del riquadro di delimitazione e alle probabilità di classe. In breve, basta guardare una volta l'immagine per prevedere quali oggetti sono presenti e dove sono. YOLO è ancora in ritardo rispetto ai sistemi di rilevamento all'avanguardia in termini di precisione. Sebbene sia in grado di identificare rapidamente gli oggetti nelle immagini, fatica a localizzare con precisione alcuni oggetti, specialmente quelli piccoli.

YOLO unifica i componenti separati del rilevamento degli oggetti in un'unica rete neurale. Essa utilizza le caratteristiche dell'intera immagine per prevedere ogni bounding boxes all'suo interno contemporaneamente.

Ciò significa che la rete ragiona globalmente sull'immagine completa e su tutti gli oggetti nell'immagine.

Il design YOLO consente un end-to-end training e una velocità in tempo reale mantenendo un'elevata precisione media. Esso divide l'immagine in ingresso in una griglia  $S \times S$  (figura 6). Se il centro di un oggetto cade in una cella della griglia, quella cella della griglia è responsabile del rilevamento di quell'oggetto. Ogni cella della griglia prevede un numero  $B$  di bounding boxes e i punteggi di confidenza per tali riquadri. Questi punteggi riflettono quanto sia sicuro che la bounding box contenga un oggetto e anche quanto sia accurato che la box sia predetta.

Formalmente si definisce *confidenza* come  $Pr(Object) * IOU_{truthpred}$ . Se non esistesse alcun oggetto in quella bounding box, i punteggi di confidenza dovrebbero essere zero. Altrimenti il punteggio della confidenza sarà l'intersezione sull'unione (IOU) tra la box predetta (*prediction*) e quanto sia reale quell'oggetto (*ground truth*).

Ciascun riquadro di delimitazione è composto da cinque previsioni:  $x, y, w, h$  e *confidenza*. Le coordinate  $(x, y)$  rappresentano il centro del riquadro rispetto ai limiti della cella della griglia. La larghezza e l'altezza sono previste rispetto all'intera immagine. Infine, la *confidenza* rappresenta l'IOU tra la casella prevista e qualsiasi casella di ground truth. Ogni cella della griglia prevede anche le probabilità della classe  $C$ ,  $Pr(Class_i|Object)$ .

Queste probabilità sono condizionate sulla cella della griglia contenente un oggetto. Si prevede solo un insieme di probabilità di classe per cella della griglia, indipendentemente dal numero  $B$  di bounding boxes.

Al momento del test moltiplichiamo le probabilità della classe e le previsioni di confidenza della bounding box:

$$Pr(Class_i|Object) * Pr(Object) * IOU_{pred}^{truth} = Pr(Class_i) * IOU_{pred}^{truth}$$



Che fornisce i punteggi di confidenza specifici per classe per ciascuna bounding box. Questi punteggi codificano sia la probabilità che quella classe appaia nella bounding box sia quanto bene la box prevista si adatti all'oggetto.

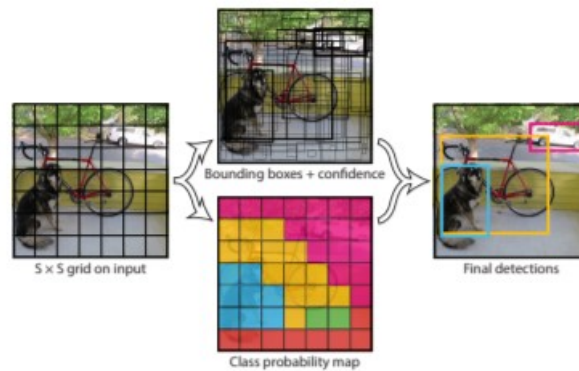


Figura 6: Modello di rilevamento degli oggetti come problema di regressione. Immagine presa da [11].

### 1.3 GOOGLE COLABORATORY

Google Colaboratory (noto anche come *Colab*) è un ambiente ospitato da Jupyter Notebook gratuito di Google. Consente di eseguire un notebook interamente nel cloud e di memorizzare il codice e i dati in Google Drive.

In questo progetto si è utilizzato Google Colab per simulare la rete neurale YOLOv3.

Una volta aperta la pagina di YOLOv3 per Ultralytics in GitHub, spostarsi sulla sezione "Environments" e premere "Open in Colab" in modo tale da aprire il codice di YOLO in Google Colab.

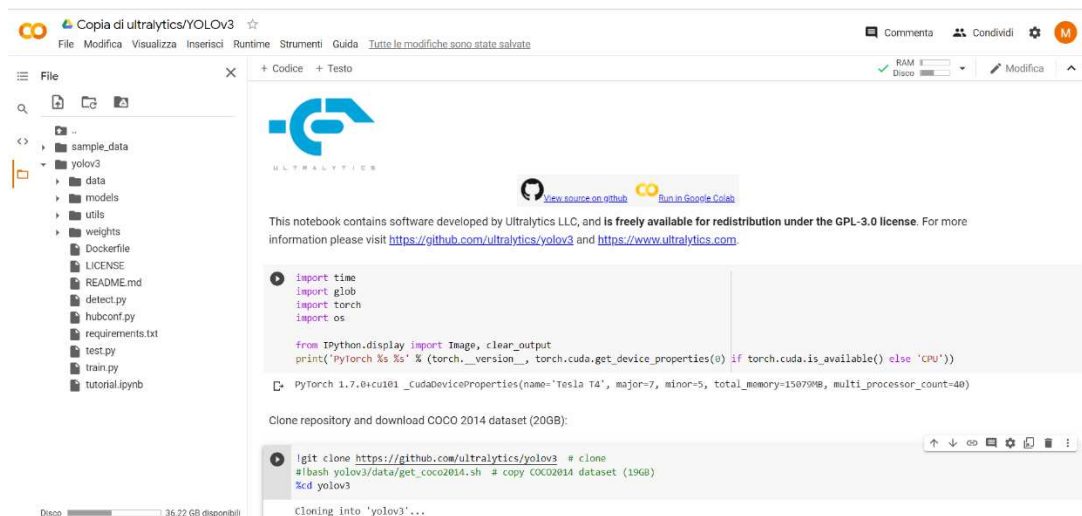


Figura 7: Screenshot di ultralytics/YOLOv3 in Google Colab.

Facendo riferimento alla figura 7, premere i due pulsanti play per clonare il repository e installare le dipendenze. Fatto questo, aprire il file Python “detect.py” nella cartella “yolov3” a sinistra su cui si effettueranno delle modifiche per ottenere una cartella dove verranno salvate i percorsi delle immagini che si stanno considerando, le classi delle bounding box al loro interno, il valore della confidenza e le dimensioni di ogni bounding boxes.

```
detect.py X
102 # Write results
103 for *xyxy, conf, cls in reversed(det):
104     save_path2= '/content/yolov3/runs'
105     nome = 'valoriboundingbox'
106     completeName = os.path.join(save_path2, nome + '.txt')
107     file1 = open(completeName, 'a')
108
109     if save_txt: # Write to file
110         xywh = (xyxy2xywh(torch.tensor(xyxy).view(1, 4)) / gn).view(-1).tolist() # normalized xywh
111         with open(save_path[:save_path.rfind('.')] + '.txt', 'a') as file:
112             file.write('%g ' * 5 + '\n' % (cls, *xywh)) # label format
113
114     if save_img or view_img: # Add bbox to image
115         xywh = str(xyxy2xywh(torch.tensor(xyxy).view(1, 4)) / gn).view(-1).tolist())
116         xywh1 = xywh.replace("[", "\t")
117         xywh2 = xywh1.replace("]", "\t")
118         xywh3 = xywh2.replace(", ", "\t")
119         label = '%s %.2f' % (names[int(cls)], conf)
120         plot_one_box(xyxy, im0, label=label, color=colors[int(cls)])
121         file1.write(label + '\t' + save_path + '\t' + xywh + '\n')
122         file1.close()
123
```

Figura 8: Screenshot del file *detect.py* modificato.

Come si evince dalla figura 8, eseguendo il file *detect.py* con le modifiche apportate, si creerà una cartella 'valoriboundingbox' nel percorso '/content/yolov2/runs'.

Se al file *detect.py* si passa in input un'immagine, allora si avrà una cartella 'output' in cui verrà salvata l'immagine 'detectata', ovvero l'immagine in cui gli oggetti sono rilevati attraverso le bounding boxes.



Figura 9: Screenshot dell'immagine campione dopo il detect.

```

1 person 0.25 runs/detect/exp7/bus.jpg [0.04691357910633087, 0.675000011920929, 0.09382715821266174, 0.4888888895511627]
2 person 0.61 runs/detect/exp7/bus.jpg [0.1796296238899231, 0.6032407283782959, 0.24567900598049164, 0.4694444537162781]
3 bus 0.65 runs/detect/exp7/bus.jpg [0.4913580119609833, 0.4453703761100769, 0.955555582046509, 0.4703703820705414]
4 person 0.85 runs/detect/exp7/bus.jpg [0.91117283821105957, 0.5902777910232544, 0.17407406866550446, 0.4546296298503876]
5 person 0.90 runs/detect/exp7/bus.jpg [0.3499999940395355, 0.5874999761581421, 0.1518518477678299, 0.42314815521240234]
6 tie 0.33 runs/detect/exp7/zidane.jpg [0.836718738079071, 0.706944465637207, 0.11093749850988388, 0.5472221970558167]
7 tie 0.33 runs/detect/exp7/zidane.jpg [0.787109375, 0.5069444179534912, 0.03359375149011612, 0.14166666567325592]
8 person 0.60 runs/detect/exp7/zidane.jpg [0.4671874940395355, 0.6312500238418579, 0.7718750238418579, 0.7180555462837219]
9 tie 0.62 runs/detect/exp7/zidane.jpg [0.3707031309604645, 0.800000011920929, 0.06328125298023224, 0.3888888955116272]
10 person 0.78 runs/detect/exp7/zidane.jpg [0.7386718988418579, 0.519444465637207, 0.31640625, 0.9333333373069763]
11 |

```

Figura 10: Screenshot del contenuto della cartella 'valoriboundingbox'.

Se al posto di un'immagine si passa al script detect.py in input un video, il programma lo dividerà in frames che verranno salvati all'interno della cartella 'output', mentre nella cartella 'valoriboundingbox' verranno salvati tutti i dati che fanno riferimento al detect degli oggetti all'interno del video.

# CAPITOLO 2

## STRUMENTI UTILIZZATI

### 2.1 ROS (Robot Operating System)

#### 2.1.1 INTRODUZIONE

ROS (Robot Operating System) è un framework per lo sviluppo e la programmazione di robot [5].



*Figura 11: logo del Ros. Immagine presa da [5]*

Originariamente sviluppato dall'Università di Stanford nel 2007 [6], ROS non è realmente un sistema operativo, ma un Software Development Kit (SDK) che si utilizza per sviluppare applicazioni di robotica. Esso fornisce i servizi standard di un sistema operativo, come: astrazione dell'hardware, controllo dei dispositivi tramite driver, comunicazione tra processi, gestione delle applicazioni (packages) e altre funzioni di uso comune. Un insieme di processi all'interno di ROS si possono rappresentare in un grafo come dei nodi che possono ricevere, inviare e "multiplexare" i messaggi provenienti da e verso altri nodi, sensori e attuatori.

Nell'architettura di ROS i software possono essere raggruppati in tre categorie:

- strumenti per lo sviluppo e pubblicazione di software basato su ROS;
- librerie utilizzabili dai processi ROS client come roscpp, rospy e roslisp;
- pacchetti (packages) contenenti applicazioni e codice che usa una o più librerie per processi ROS client.

### 2.1.2 FILOSOFIA DEL ROS

Le caratteristiche del ROS sono fondamentali per l'utilizzo nel mondo della robotica. Esso, infatti, è un insieme di framework:

- **Peer to peer:** i singoli programmi (ROS messages, service, etc.); comunicano su API definite;
- **Distributed:** i programmi possono essere eseguiti su più computer e comunicare in rete;
- **Multi-lingual:** i moduli ROS possono essere scritti in qualsiasi linguaggio per il quale esiste una libreria client (C++ e Python sono i più utilizzati);
- **Light-weight:** ROS sfrutta librerie già scritte nei vari linguaggi di programmazione rendendolo di fatto molto performante;
- **Free and open-source:** La maggior parte del software ROS è open source e gratuito.

### 2.1.3 CATKIN

Catkin è il sistema di compilazione ufficiale di ROS e il successore del sistema di compilazione ROS originale, il rosbuilt. Esso, infatti, si presenta più convenzionale rispetto al suo predecessore, consentendo una migliore distribuzione dei pacchetti, un migliore supporto per la compilazione incrociata e una migliore portabilità.

Catkin combina le macro di *CMake* e gli script Python per fornire alcune

funzionalità, oltre al normale flusso di lavoro di CMake.

Affinché si possa effettuare il *build*, Catkin deve entrare in possesso di varie informazioni, come le posizioni del codice sorgente, le dipendenze del codice, dipendenze esterne e dove si trovano, quali elementi devono essere compilati e dove devono essere installati. Questo è tipicamente espresso in una serie di file di configurazione letti dal sistema di compilazione. Con CMake, è specificato in un file tipicamente chiamato 'CMakeLists.txt' e con GNU Make è all'interno di un file tipicamente chiamato 'Makefile'. Il sistema di compilazione utilizza queste informazioni per elaborare e creare il codice sorgente nell'ordine appropriato.

Nonostante *robuild* sia stato un buon sistema di compilazione per ROS sin dal suo inizio, la rapida crescita del codebase di ROS ha mostrato alcuni inconvenienti al suo approccio che Catkin tenta di alleviare, infatti viene utilizzato perché agevola la costruzione e l'esecuzione di codice ROS utilizzando strumenti e convenzioni per semplificare il processo. Per installare Catkin, bisogna eseguire questo comando con il terminale Linux (tutto il lavoro della tesi è stato svolto con il sistema operativo Ubuntu 16.04 e il ROS nella sua versione chiamata *kinetic*):

```
sudo apt-get install ros-kinetic-catkin
```

La creazione di un workspace di Catkin verrà mostrata nel capitolo 3.

Catkin è composto da tre cartelle fondamentali:

- **src**: contiene il codice sorgente. È la cartella che si utilizza per poter creare, clonare ed editare codice sorgente per generare le risorse di cui abbiamo bisogno;
- **build**: è la cartella dove il CMake viene chiamato per generare i packages a partire dai codici sorgente;
- **devel**: è la cartella dove i files compilati sono memorizzati.



Con il comando:

```
catkin clean
```

è possibile pulire l'intero contenuto delle cartelle build e devel. Se vogliamo controllare o modificare delle impostazioni di catkin, è possibile tramite il comando:

```
catkin config
```


## 2.1.4 ROS MASTER

Il ROS Master gestisce la comunicazione tra i vari processi in esecuzione all'interno del framework. Il ruolo del Master è quello di consentire ai singoli nodi ROS di localizzarsi l'un l'altro. Una volta che questi nodi si sono localizzati, comunicano tra loro peer-to-peer. Il Master viene più comunemente eseguito utilizzando il comando:

```
roscore
```

che carica il ROS Master insieme ad altri componenti essenziali.

In figura 13 viene riportata la schermata principale del ROS Master.

A blue rectangular button with the text "ROS Master" in white, centered within the rectangle.

*Figura 12: ROS Mater. Immagine tratta da [6]*



```
md@md-VirtualBox:~$ roscore
... logging to /home/md/.ros/log/e3d6b7a4-3486-11eb-b2b5-080027700970/roslaunch-md-VirtualBox-13385.1
og
Checking log directory for disk usage. This may take awhile.
Press Ctrl-C to interrupt
Done checking log file disk usage. Usage is <1GB.

started roslaunch server http://md-VirtualBox:35725/
ros_comm version 1.12.16

SUMMARY
=====
PARAMETERS
* /rostdistro: kinetic
* /rosversion: 1.12.16

NODES

auto-starting new master
process[roscpp]: started with pid [13396]
ROS_MASTER_URI=http://md-VirtualBox:11311/

setting /run_id to e3d6b7a4-3486-11eb-b2b5-080027700970
process[rosout-1]: started with pid [13409]
started core service [/rosout]
```

Figura 13: Screenshot del comando roscore.

## 2.1.5 ROS NODE

Un ROS Node è un programma eseguibile all'interno di un ROS package.

I ROS Nodes usano una libreria del ROS client per comunicare con altri nodi, sono organizzati in packages, possono pubblicare o iscriversi a un ROS Topic e fornire o usare un ROS Service.

Un ROS Node può essere avviato attraverso il comando:

```
roslaunch nome_del_package nome_del_rosnode
```

Con il comando:

```
roslaunch list
```

è possibile visualizzare la lista di tutti i nodi attivi.

Infine, con il comando

```
roslaunch info nome_del_rosnode
```

si possono ottenere le informazioni su un nodo specifico.

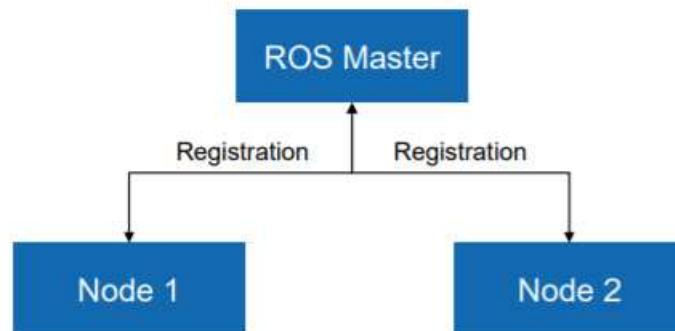


Figura 14: comunicazione tra ROS Nodes e ROS Master. Immagine tratta da [6]

### 2.1.6 ROS TOPICS

I ROS Topics sono bus denominati su cui i nodi si scambiano messaggi, o meglio, sono il nome di un flusso di messaggi. Un nodo può svolgere la funzione di publisher o di subscriber. Tipicamente si ha un solo nodo publisher ed n nodi subscribers.

Come per i nodi, attraverso il comando:

```
rostopic list
```

si può ottenere una lista dei topics attivi.

Con il comando

```
rostopic echo/topic
```

si può stampare il contenuto di un Topic.

Infine per ottenere informazioni di un Topic si utilizza il comando:

```
rostopic info/topic.
```

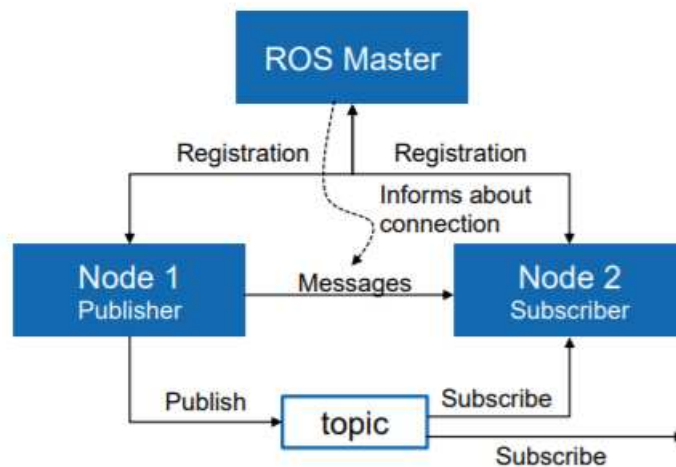


Figura 15: Comunicazione tra ROS Master, Nodes e Topic. Immagine tratta da [6]

### 2.1.7 ROS MESSAGES

I nodi comunicano tra loro pubblicando messaggi nei Topics. Un messaggio è una semplice struttura dati, composta da campi digitati; sono supportati i tipi primitivi standard (integer, floating point, boolean, ecc.), così come gli array di tipi primitivi e possono includere strutture e array annidati arbitrariamente, come si può vedere in figura 10.

Un ROS Message è definito all'interno di un file con estensione \*.msg.

Per visualizzare il tipo di un determinato ROS Message, si usa il comando:

```
rostopic type /nome_del_topic
```

Per pubblicare un messaggio su un topic si utilizza il comando:

```
rostopic pub /nome_del_topic type data
```

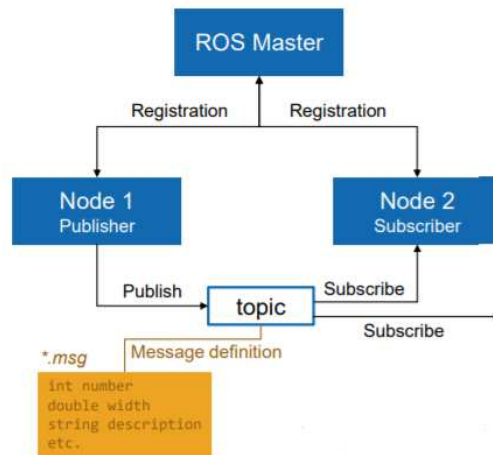


Figura 16: Comunicazione tra ROS Master, Nodes, Topic e Messages. Immagine tratta da [6].

## 2.1.8 ROS LAUNCH

ROS Launch è un tool che permette di eseguire più nodi. Sono scritti in XML con estensione \*.launch. Se non è già stato fatto, all'avvio di un ROS Launch viene avviato anche il ROS Master. Il comando per eseguire un file \*.launch è:

```
roslaunch nome_del_file.launch
```

## 2.1.9 ROS PACKAGES

Il software ROS è organizzato in packages, che possono contenere codice sorgente, *launch files*, file di configurazione, definizioni di messaggi, dati e documentazione.

Un package che richiede altri componenti per poter essere compilato ha bisogno di dichiarare le dipendenze con il seguente comando:

```
catkin_create_pkg nome_del_package {dipendenze}
```

Un esempio di ROS Package è mostrato in figura 11.

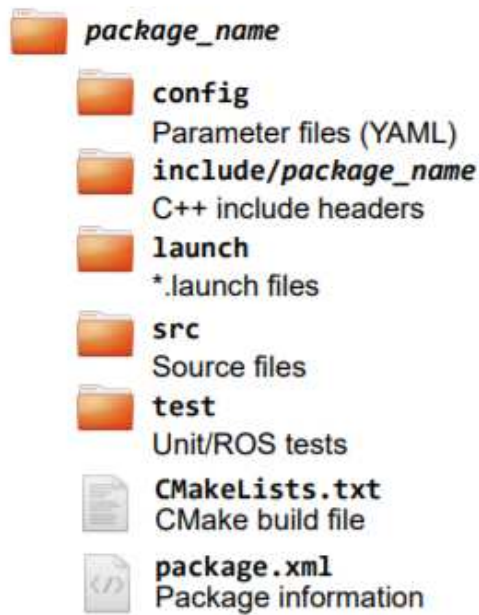


Figura 17: Esempio di ROS Package

### 2.1.9.1 package.xml

Il `package.xml` definisce le proprietà del package come il nome, autori, versione e dipendenze con altri package.

### 2.1.9.2 CMakeLists.txt

Il `CMakeLists.txt` rappresenta il file di input che viene mandato al `CMakeBuild` system. Esso contiene:

- la versione del CMake richiesta  
(`cmake_minimum_required(VERSION ...)`);
- il nome del package (`project()`);
- indicazioni su dove trovare gli altri packages Cmake o Catkin necessari per la compilazione (`find_package()`);
- generatori di messaggi, servizi e azioni (`add_message_files()`, `add_service_files()` e `add_action_files()`);
- l'invocazione nella generazione di messaggi (`generate_messages()`);

- specifiche sui package build info export (catkin\_package());
- librerie o eseguibili da compilare  
((add\_library() add\_executable() target\_link\_libraries());
- test per la compilazione (catkin\_add\_gtest());
- metodi per installare regole (install());

### 2.1.10 ROS SERVICES

La comunicazione client/server tra nodi è realizzata con il ROS Service attraverso l'utilizzo di due elementi principali:

- il *service server* che promuove il servizio;
- il *service client* che usufruisce del servizio;

I Ros Services vengono definiti in file di estensione \*.srv.

Il comando che ci permette di ottenere la lista dei servizi disponibili è:

```
rosservice list
```

Per conoscere il tipo di Service utilizziamo:

```
rosservice type /nome_del_servizio
```

Per chiamare un servizio fornito da un ROS Service si utilizza:

```
rosservice call /nome_del_servizio args.
```

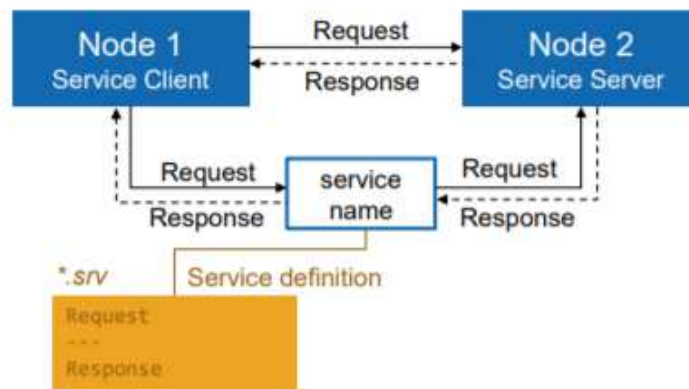


Figura 18: comunicazione tra ROS Service e due ROS Nodes. Immagine tratta da [6]

### 2.1.11 ROS ACTIONS

Simile alle chiamate dei ROS Services, le ROS Actions forniscono delle funzionalità aggiuntive:

- cancellare un *task*;
- ricevere un feedback sul progresso dell'attività;

Le ROS Actions vengono memorizzate in files con estensione \*.action.

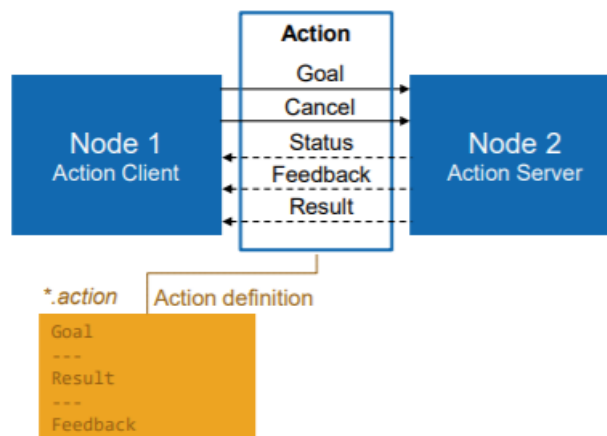


Figura 19: Comunicazione tra nodi e ROS Actions. Immagine tratta da [6].

### 2.1.12 ROS TIME

Il ROS Time è uno strumento molto utile nelle simulazioni quando bisogna simulare l'andamento nel tempo di alcuni comportamenti. Per lavorare con un clock simulato, si utilizza:

```
roscpp param set use_sim_time true
```

### 2.1.13 ROS BAGS

Un Bag è un formato utilizzato dal ROS per immagazzinare i messaggi. Sono in formato binario e sono memorizzati con estensione \*.bag. Per registrare tutto ciò che viene inserito all'interno di tutti i ROS Topics, si utilizza il seguente comando:

```
roscpp bag record -all
```

Mentre se vogliamo registrare tutti i messaggi che sono stati inviati in topics specifici, si utilizza:

```
roscpp bag record topic_1 topic_2 topic_3
```

La registrazione viene interrotta con l'utilizzo di ctrl+C. I file .bag vengono memorizzati con una data d'inizio e l'ora di memorizzazione ad esempio: *2020-04-12-19-00-00.bag*.

Per visualizzare le informazioni di un bag si utilizza il comando:

```
roscpp bag info nome_del_file.bag
```

Per leggere un file bag e stamparne tutti i suoi contenuti sul terminale si utilizza:

```
roscpp bag play nome_del_file.bag
```

Esistono delle opzioni di visualizzazione che possono essere fornite dopo il comando play, ad esempio:

```
roscpp bag play -rate=0.5 nome_del_file.bag
```



### 2.1.14 RQT IMAGE VIEW

Rqt Image View è uno strumento di visualizzazione per le simulazioni effettuate con ESIM. Si lancia con il comando:

```
roslaunch rqt_image_view
```

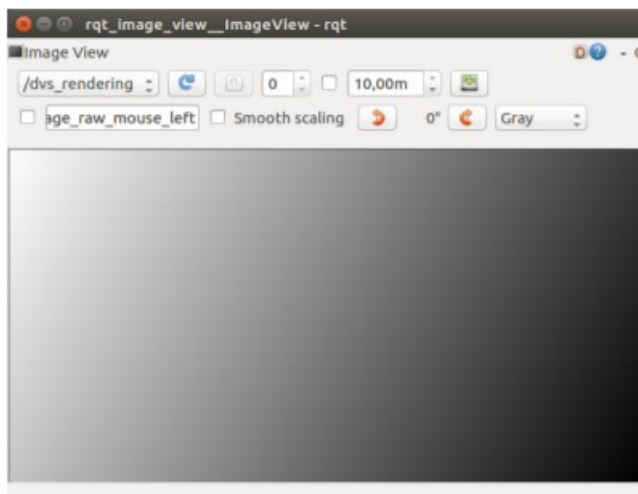


Figura 20: Screenshot della schermata iniziale di Rqt Image View.

## 2.3 INSTALLAZIONE DEL ROS

Per lo svolgimento del progetto si è utilizzato la versione Kinetic di ROS, compatibile solamente con le versioni 15.10 e 16.01 di Ubuntu. Ovviamente si possono utilizzare altre versioni del ROS, a seconda del sistema operativo che si sta utilizzando.

Il primo passo è impostare il proprio PC per accettare il software che proviene dal [packages.ros.org](http://packages.ros.org) utilizzando il comando:

```
sudo sh -c 'echo "deb http://packages.ros.org/ros/ubuntu  
$(lsb_release -sc) main" > /etc/apt/sources.list.d/ros-latest.list'
```

Successivamente, si impostano le chiavi con:

```
sudo apt-key adv --keyserver 'hkp:// keysrver.ubuntu.com:80'  
--recv-key C1CF6E31E6BADE8868B172B4F42ED6FBAB17C654
```

Prima di tutto si verifica se l'indice del Debian package è aggiornato:

```
sudo apt-get update
```

Si avvia l'installazione completa di ROS con il seguente comando:

```
sudo apt-get install ros-kinetic-desktop-full
```

È conveniente che le variabili dell'ambiente ROS siano automaticamente aggiunte alla bash session ogni volta che una nuova shell viene lanciata:

```
echo "source /opt/ros/kinetic/setup.bash" >> ~/.bashrc  
source ~/.bashrc
```

A questo punto si è installato tutto ciò che necessario per avviare i packages fondamentali del ROS ma se si vuole permettere la creazione di workspaces custom, bisogna installare questo tool tramite il seguente comando da terminale:

```
sudo apt install python-rosdep python-rosinstall python-rosinstall-  
generator python-wstool build-essential
```

Prima di iniziare ad usare i tools presenti nel ROS, c'è bisogno di inizializzare il rosdep che permette di installare le dipendenze del codice che si vuole compilare ed è fondamentale per eseguire i componenti del ROS. Rosdep si installa con il seguente comando:

```
sudo apt install python-rosdep
```

e si analizza con i seguenti comandi:

```
sudo rosdep init  
rosdep update
```

## 2.4 Python



Figura 21: Logo Python. Immagine presa da [7].

Si è utilizzato il linguaggio di programmazione *Python* (versione 3.5) per effettuare la simulazione degli eventi a partire da un video per ESIM e per sviluppare l'algoritmo finale, utilizzando l'editor PyCharm.

## 2.5 FFMPEG



Figura 22: Logo FFMPEG. Immagine tratta da [8].

Nella simulazione degli eventi a partire da un file video con ESIM, è stato utile l'utilizzo di un software per l'elaborazione di file video chiamato FFmpeg. In particolare, è stato utilizzato per tagliare il video campione e migliorarne la qualità per agevolare la simulazione su ESIM.

# CAPITOLO 3

## SIMULATORE ESIM

### 3.1 INTRODUZIONE

Le camere ad eventi sono sensori rivoluzionari che funzionano in modo radicalmente diverso dalle camere tradizionali: invece di acquisire immagini di intensità a un *framerate* fisso, le camere ad eventi misurano i cambiamenti di intensità in modo asincrono, sotto forma di un flusso di eventi, che codificano i cambiamenti di luminosità per pixel [9].

Negli ultimi anni, le loro eccezionali proprietà come, il rilevamento asincrono, il *motion blur*, l'HDR, hanno portato ad applicazioni di visione interessanti, con una latenza molto bassa e un'elevata robustezza. Tuttavia, questi sensori sono costosi e non ottimali, rallentando il progresso della comunità di ricerca. Ne è un esempio è il DAVIS 346: esso possiede ancora una bassa risoluzione (346x260), uno scarso rapporto segnale/rumore, una complessa configurazione, che richiede il supporto di esperti, e il suo prezzo è ancora troppo alto, circa 5000€. Questi problemi irrisolti non rendono giustizia alle reali potenzialità delle camere ad eventi e la rivoluzione che potrebbero portare nei vari campi di applicazione se fossero più accessibili.

Per questo motivo si è pensato di creare dei simulatori che permettessero di ottenere un output il più vicino possibile a quello di una camera ad eventi.

Il simulatore che si è utilizzato per lo svolgimento del progetto è l'ESIM: un efficiente simulatore di telecamera per eventi implementato in C++ e disponibile open source.

ESIM può simulare il movimento arbitrario della telecamera in scene 3D,

fornendo al contempo eventi, immagini standard, misurazioni inerziali con informazioni complete sulla verità del terreno, tra cui la posizione della telecamera, la velocità, nonché mappe di profondità e flusso ottico.

ESIM combina un simulatore di eventi con i motori grafici per consentire una simulazione e accurata mediante l'utilizzo dell'*adaptive sampling*.

### **3.2 ADAPTIVE SAMPLING**

Per simulare una camera ad eventi, è necessario accedere ad una rappresentazione continua del segnale visivo in ogni pixel, che non è ottenibile nella pratica. Per aggirare questo problema, lavori precedenti hanno proposto di campionare il segnale visivo (cioè fotogrammi campione) in modo sincrono, ad un *framerate* molto alto, ed eseguire un'interpolazione tra i campioni per ricostruire un'approssimazione lineare a tratti del segnale visivo continuo, che viene utilizzato per emulare il principio di funzionamento di una telecamera per eventi.

In ESIM si utilizza lo stesso approccio generale per la simulazione degli eventi, ovvero: si campiona il segnale visivo (mediante il rendering di immagini lungo la traiettoria della telecamera) con la differenza fondamentale che, invece di scegliere un *framerate* di rendering arbitrario e campionare i fotogrammi in modo uniforme nel tempo al *framerate* scelto, si propone di campionare i frame in modo adattivo, cioè adattando la frequenza di campionamento in base alle dinamiche previste del segnale visivo.

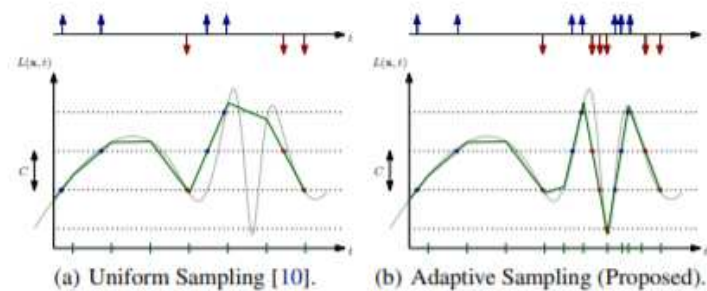


Figura 23: Uniform (a) e Adaptive (b) Sampling. Immagine tratta da [9].

Il tutto si può vedere dalla figura 16: le due strategie producono eventi simili quando il segnale varia poco; quando quest'ultimo varia considerevolmente, l'*adaptive sampling* produce una simulazione molto più accurata dell'*uniform sampling* in quanto il *framerate* cambia con il variare del segnale visivo.

Un campionamento adattativo del segnale visivo richiede una stretta integrazione tra il *rendering engine* e il simulatore di eventi.

### 3.2.1 VANTAGGI DELL'ADAPTIVE SAMPLING

Nella figura 3.3 a sinistra, si ha l'RMSE (*Root Mean Standard Error*) del segnale di luminosità in funzione del *framerate* per ogni strategia di campionamento ("all" per indicare che tutti i campioni sono analizzati, "slow" per indicare un *framerate* basso" e "fast" per un *framerate* alto) elaborato nell'intera sequenza di valutazione. Nella figura 3.3 a destra viene rappresentato l'RMSE del segnale di luminosità ricostruito in funzione del numero medio di campioni al secondo elaborato per ogni strategia di campionamento, esaminati nell'intera sequenza di valutazione.

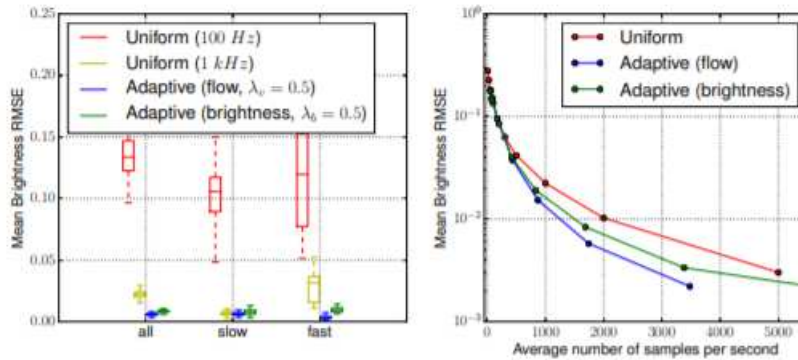


Figura 24: Confronto tra varie metodologie di campionamento. Immagine tratta da [9].

### 3.3 ARCHITETTURA DELL'ESIM

Come si può vedere in figura 18, l'architettura del simulatore associa direttamente il *rendering engine* con il simulatore di eventi. Questo consente all'ESIM di elaborare i frames basandosi sulla dinamica del segnale visivo.

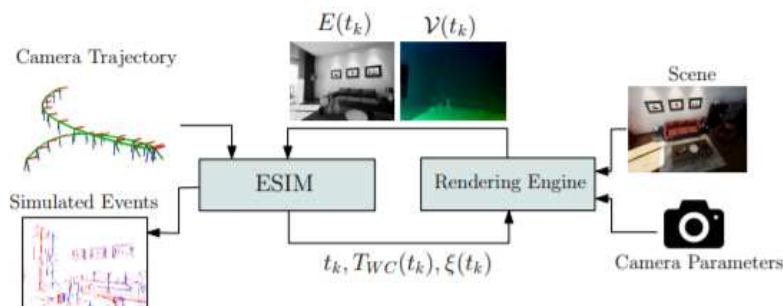


Figura 25: Architettura di ESIM. Immagine tratta da [9].

Il simulatore ESIM è composto da due elementi fondamentali:

- **sensor trajectory**: è una funzione regolare  $\tau$  che mappa ad ogni istante di tempo  $t$ , una posa, il *twist* (velocità angolare e lineare) e l'accelerazione del sensore. Si denota la posa del sensore espressa in alcuni frame inerziali  $W$  con  $T_{WB} \in SE$ , dove  $SE$  definisce un gruppo di

movimenti rigidi in 3D, il *twist* è definito con  $\xi(t) = ({}_{WV}(t), {}_{B\omega_{WB}}(t))$ , e la sua accelerazione è espressa (nel frame inerziale) con  ${}_{Ba}(t)$ .

- **rendering engine:** il *renderer* è una funzione reale che mappa ad ogni istante di tempo  $t$  un'immagine renderizzata della scena in base alla posa corrente del sensore. Esso è parametrizzato dall'ambiente  $\varepsilon$ , variabile che controlla le geometrie della scena e le sue dinamiche, dal sensor trajectory all'interno dell'ambiente  $\tau$ , variabile che rappresenta la traiettoria della camera nell'ambiente e dalla configurazione  $\Theta$ , variabile che rappresenta la configurazione del sensore di visione simulata e che include dei parametri della camera come la grandezza del sensore, lunghezza focale e parametri di distorsione. Il *renderer* fornisce anche il *motion field*  $v(tk)$ .

Descrivendo la figura 23, il simulatore ESIM, al tempo  $t_k$ , campiona una nuova posa della camera  $T_{WC}(t_k)$  e il twist  $\xi(t_k)$  a partire dalla traiettoria definita dall'utente e li passa al *rendering engine* che renderizza una nuova mappa d'irradianza  $E(t_k)$  e una mappa del *motion field*  $v(t_k)$  che serviranno per produrre la simulazione degli eventi. Il *motion field* viene usato per calcolare il cambiamento previsto di luminosità che a sua volta permette di scegliere il tempo di rendering successivo  $t_{k+1}$ .

### 3.4 STRATEGIA DELL'ESIM

Il principio di lavoro dell'ESIM si basa su due metodi:

- **cambiamento di luminosità:** Sotto le ipotesi delle superfici lambertiane, si considera una espansione di Taylor al primo ordine della luminosità:

$$\frac{\partial L(x;t_k)}{\partial t} \simeq -\langle \nabla L(x;t_k), v(x;t_k) \rangle \quad (3.1)$$



dove  $\nabla L$  è il gradiente della luminosità dell'immagine e  $v$  è il *motion field*. Quindi  $\nabla L \simeq \frac{\partial L(x;t_k)}{\partial t} \Delta t$  è la variazione (positiva o negativa) di luminosità prevista al pixel  $x$  e al tempo  $t_k$  durante un dato intervallo di tempo  $\Delta t$ . Si assicura che per ogni pixel  $x \in \Omega$ ,  $|\Delta L| \leq C$ . Questo significa che la variazione di luminosità è limitata dalla soglia di contrasto desiderata  $C$  della camera ad eventi. L'istante di tempo  $t_{k+1}$  viene calcolato nel modo seguente:

$$t_{k+1} = t_k + \lambda_b C \left| \frac{\partial L}{\partial t} \right|_m^{-1} \quad (3.2)$$

dove:  $\left| \frac{\partial L}{\partial t} \right|_m = \max_{x \in \Omega} \frac{\partial L(x;t_k)}{\partial t}$  è la massima variazione prevista della luminosità nel piano dell'immagine  $\Omega$ , e  $\lambda_b \leq 1$  è un parametro che controlla lo scambio tra la velocità di rendering e l'accuratezza. L'equazione (3.2) impone quindi che il framerate del rendering cresca proporzionalmente con la massima variazione assoluta di luminosità prevista nell'immagine. Tuttavia, non c'è garanzia che il segnale sia stato campionato correttamente, a causa di effetti non lineari. Per far fronte a questo problema, si può scegliere un valore di  $\lambda_b < 1$ .

- **spostamento dei pixel:** questo metodo si basa sull'assunzione che il massimo spostamento di un pixel tra due frames successivi è limitato. Questo metodo può essere adottato scegliendo un tempo di campionamento successivo  $t_{k+1}$  come segue:

$$t_{k+1} = t_k + \lambda_v |v(x_k; t_k)|_m^{-1} \quad (3.3)$$

dove  $|v| = \max_{x \in \Omega} |v(x; t_k)|$  è la magnitudo massima del *motion field* al tempo  $t_k$ , e  $\lambda_v \leq 1$ . Come detto sopra, si sceglie  $\lambda_v$  per mitigare l'effetto delle non-linearità presenti.

Nel simulatore sono implementati dei modelli standard di disturbo per le camere ad eventi. I modelli sono ottenuti campionando il contrasto in base alla

variabile  $N(C, \sigma_c)$ , dove  $\sigma_c$  controlla l'ammontare del disturbo impostato dall'utente.

### 3.5 INSTALLAZIONE

Prima di installare il simulatore ESIM, è necessario aver scaricato il ROS (capitolo 2, sezione 3).

Prima di tutto è necessario installare *catkin\_tools*, eseguendo i comandi:

```
sudo sh -c 'echo "deb http://packages.ros.org/ros/ubuntu `lsb_release -sc` main" > /etc/apt/sources.list.d/ros-latest.list '
```

```
wget http://packages.ros.org/ros key -O - | sudo apt-key add -  
sudo apt-get update
```

```
sudo apt-get install python-catkin-tools
```

In seguito, bisogna creare un workspace fatto esclusivamente per contenere il simulatore. Si effettua con i seguenti comandi:

```
mkdir -p ~/sim_ws/src && cd ~/sim_ws
```

```
catkin init
```

```
catkin config --extend /opt/ros/kinetic --cmake-args  
-DCMAKE_BUILD_TYPE=Release
```

Successivamente, installare *vcstools*:

```
sudo apt-get install python-vcs tool
```

Si clona il repository importato (si ricorda di creare una chiave SSH per il proprio account GitHub) e si procede poi all'avvio di *vcstools*:

```
cd src/
```

```
git clone git@github.com:uzh-rpg/rpg_esim.git
```

```
vcs-import < rpg_esim/dependencies.yaml
```

Vengono poi installati vari software utili per il simulatore, quali: *pcl\_ros*, *glm*, *glfw*:

```
sudo apt-get install ros-kinetic-pcl-ros
sudo apt-get install libglfw3 libglfw3-dev
sudo apt-get install libglm-dev
```

Ora, è utile disabilitare alcune dipendenze non necessarie:

```
cd ze_oss
touch imp_3rdparty_cuda_toolkit /CATKIN_IGNORE \
imp_app_pangolin_example /CATKIN_IGNORE \
imp_benchmark_aligned_allocator /CATKIN_IGNORE \
imp_bridge_pangolin /CATKIN_IGNORE \
imp_cu_core /CATKIN_IGNORE \
imp_cu_correspondence /CATKIN_IGNORE \
imp_cu_imgproc /CATKIN_IGNORE \
imp_ros_rof_denoising /CATKIN_IGNORE \
imp_tools_cmd /CATKIN_IGNORE \
ze_data_provider /CATKIN_IGNORE \
ze_geometry /CATKIN_IGNORE \
ze_imu /CATKIN_IGNORE \
ze_trajectory_analysis /CATKIN_IGNORE
```

e compilare il nodo *event\_camera\_simulator* con:

```
catkin build esim_ros
```

Infine, si crea un alias per il workspace in modo tale che esso può essere richiamato velocemente ad ogni avvio della *bash*:

```
echo "source ~/sim_ws/devel/setup.bash" >> ~/setupeventsim.sh
chmod +x ~/setupeventsim.sh
```

Aggiungiamo le modifiche al file *.bashrc* con la seguente riga di comando:

```
alias ssim='source ~/setupeventsim.sh'
```

Quindi adesso, con il comando *ssim* si inizierà il workspace del simulatore.

Ciò è fondamentale per lavorare con il simulatore ESIM.

# CAPITOLO 4

## RISULTATI

### 4.1 FASI PRELIMIARI

#### 4.1.1 DOWNLOAD DEL VIDEO

Come video di prova per la simulazione di eventi, si è scelto un video ripreso da un drone Cinewhoop FPV, che mostra l'interno di una casa, scaricato dall'applicazione 'Youtube: Convertitore' (file MP4 per video).

Per prima cosa, si crea una nuova cartella chiamata *example* all'interno della cartella *tmp*. Successivamente ci si sposta all'interno di essa:

```
mkdir -p /tmp/ example 2 cd /tmp/ example
```

Adesso si utilizzano gli strumenti offerti da *FFmpeg* per ridurre la durata del video: verrà creato un secondo file video in formato *.mkv*, che contiene soltanto la parte del video che va dal minuto *0'13* e finisce al minuto *1'13*, attraverso il seguente comando:

```
ffmpeg -i drone.mkv -ss 00:00:13 -t 00:01:00 -async 1 -strict -2  
drone_cut.mkv
```

Con *-i* si indica il video da fornire in input a *FFmpeg*, in questo caso *drone.mkv*. Con *-ss* si indica da quale punto del video iniziare a salvare il video. Con *-t*, si indica la durata della lettura del video in input (in questo caso si salverà *1* minuto a partire dal minuto *0'13*).

Se il video presenta un valore di fps troppo elevato, si consiglia di ridimensionare il video.

## 4.1.2 PRE-PREPROCESSING DEL VIDEO PER ESIM

Attraverso i comandi:

```
mkdir frames
```

```
f ffmpeg -i video_test.mkv frames / frames_%010d . png
```

si creerà una cartella frames che conterrà tutti i frames in png del video stesso, necessaria per la creazione del file images.csv con lo script python generate\_stamp\_file.py, contenuto all'interno della cartella scripts

(percorso:sim\_ws/src/rpg\_esim/event\_camera\_simulator/esim\_ros/scripts), mostrato nella figura sottostante.

```
import argparse
from os import listdir
from os.path import join

if __name__ == "__main__":
    parser = argparse.ArgumentParser(
        description='Generate "images.csv" for ESIM DataProviderFromFolder')
    parser.add_argument('-i', '--input_folder', default=None, type=str,
                        help="folder containing the images")
    parser.add_argument('-r', '--framerate', default=1000, type=float,
                        help="video framerate, in Hz")
    args = parser.parse_args()

    images = sorted(
        [f for f in listdir(args.input_folder) if f.endswith('.png')])

    print('Will write file: {} with framerate: {} Hz'.format(
        join(args.input_folder, 'images.csv'), args.framerate))
    stamp_nanoseconds = 1
    dt_nanoseconds = int((1.0 / args.framerate) * 1e9)
    with open(join(args.input_folder, 'images.csv'), 'w') as f:
        for image_path in images:
            f.write('{}\n'.format(stamp_nanoseconds, image_path))
            stamp_nanoseconds += dt_nanoseconds

    print('Done!')
```

Figura 26: Screenshot del file generate\_stamps\_file.py.

Questo script genera un file formato in .csv, formato da due colonne: la prima contiene l'istante di tempo relativo ad un determinato frame del video fornito in input, mentre la seconda fornisce il nome del file .png associato al frame.

A	B	C	D	E	F	G	H	I	J	K	L	M	N	O
1	frames_000000001.png													
2	33333334 frames_000000002.png													
3	66666667 frames_000000003.png													
4	100000000 frames_000000004.png													
5	133333333 frames_000000005.png													
6	166666666 frames_000000006.png													
7	199999999 frames_000000007.png													
8	233333332 frames_000000008.png													
9	266666665 frames_000000009.png													
10	299999998 frames_000000010.png													
11	333333331 frames_000000011.png													
12	366666664 frames_000000012.png													
13	399999997 frames_000000013.png													
14	433333330 frames_000000014.png													
15	466666663 frames_000000015.png													
16	499999996 frames_000000016.png													
17	533333329 frames_000000017.png													
18	566666662 frames_000000018.png													
19	599999995 frames_000000019.png													
20	633333328 frames_000000020.png													
21	666666661 frames_000000021.png													
22	699999994 frames_000000022.png													
23	733333327 frames_000000023.png													
24	766666660 frames_000000024.png													
25	799999993 frames_000000025.png													
26	833333326 frames_000000026.png													
27	866666659 frames_000000027.png													
28	899999992 frames_000000028.png													
29	933333325 frames_000000029.png													
30	966666658 frames_000000030.png													
31	999999991 frames_000000031.png													
32	103333334 frames_000000032.png													
33	106666667 frames_000000033.png													
34	109999990 frames_000000034.png													
35	113333323 frames_000000035.png													
36	116666656 frames_000000036.png													
37	119999989 frames_000000037.png													
38	123333322 frames_000000038.png													
39	126666655 frames_000000039.png													
40	129999988 frames_000000040.png													
41	133333321 frames_000000041.png													
42	136666654 frames_000000042.png													
43	139999987 frames_000000043.png													
44	143333320 frames_000000044.png													
45	146666653 frames_000000045.png													
46	149999986 frames_000000046.png													
47	153333319 frames_000000047.png													
48	156666652 frames_000000048.png													
49	159999985 frames_000000049.png													
50	163333318 frames_000000050.png													
51	166666651 frames_000000051.png													
52	169999984 frames_000000052.png													
53	173333317 frames_000000053.png													
54	176666650 frames_000000054.png													
55	179999983 frames_000000055.png													
56	183333316 frames_000000056.png													

Figura 27:screenshot del file images.csv.

### 4.1.3 SIMULAZIONE DEGLI EVENTI CON ESIM

Dopo aver eseguito il ROS Master, attraverso il comando *roscore* da terminale, si inizia il processo di creazione degli eventi con ESIM con il comando:

```
rosrun esim_ros esim_node\
--data_source=2\
--path_to_output_bag=/tmp/out.bag\
--path_to_data_folder=/tmp/video_test/frames\
--ros_publisher_frame_rate=60\
--exposure_time_ms =10.0\
--use_log_image=1\
--log_eps =0.1
--contrast_threshold_pos=0.15\
--contrast_threshold_neg=0.15
```

eseguendo un noto chiamato *esim\_node* del *package esim\_ros* in cui vengono indicati i seguenti argomenti:

- `data_source=2` dice all'ESIM di leggere dati da una cartella che contiene immagini. Esso guarderà all'interno di un file `.csv` che associa gli istanti temporali alle immagini da leggere;
- `-path_to_data_folder` fornisce il percorso alla cartella dove sono memorizzati i file `.csv` e i frames in `png`;
- `-path_to_output_bag` fornisce il percorso dove salvare il file `.bag`;
- `-ros_publisher_frame_rate` indica il framerate del sensore APS simulato (in `fps`);
- `-exposure_time_ms` fornisce il tempo di esposizione del frame del sensore APS (in millisecondi);
- `-use_log_image` dice all'ESIM di operare nel dominio a intensità logaritmica. Quindi ogni immagine verrà convertita nel modo seguente:  
$$L = \log \frac{L}{255+eps}$$
, dove `eps` è impostato con il parametro `-log_eps`;
- `-contrast_threshold_pos` e `-contrast_threshold_neg` impostano i valori della soglia di contrasto (positiva e negativa). Un valore più basso comporta una sensibilità più alta (e quindi molti eventi). Un valore più alto comporta una sensibilità più bassa (e quindi meno eventi);

## 4.2 VISUALIZZAZIONE DEGLI EVENTI SIMULATI

Eseguendo il comando precedente, viene avviato l'ESIM e gli eventi vengono salvati nel file binario `/tmp/out.bag`.

Successivamente si utilizza il *package* `dvs_renderer` con il comando:

```
roslaunch dvs_renderer dvs_renderer events:=/cam0/events
```

Per visualizzare gli eventi su un'immagine (utilizzabile quando non si dispone di un DAVIS) e il comando:

```
rosvag play /tmp/out.bag -l
```

Per riprodurre in loop (con -l) il file out.bag.

```
md@md-VirtualBox:~$ rosvag play /home/md/example/out.bag -l
[ INFO] [1607252761.637492729]: Opening /home/md/example/out.bag
Waiting 0.2 seconds after advertising topics... done.
Hit space to toggle paused, or 's' to step.
[RUNNING] Bag Time: 24.529002 Duration: 24.529002 / 47.933333 2779.33
```

*Figura 28: Screenshot comando rosvag.*

Infine è possibile visualizzare gli eventi simulati aprendo `rqt_image_view` in un'altra finestra del terminale:

```
rqt_image_view / dvs_rendering
```

Viene aperta una finestra di `rqt_image_view` dove è possibile selezionare tra la visualizzazione dei soli eventi (figura 4.4) oppure quella dei frames APS (figura 4.5).



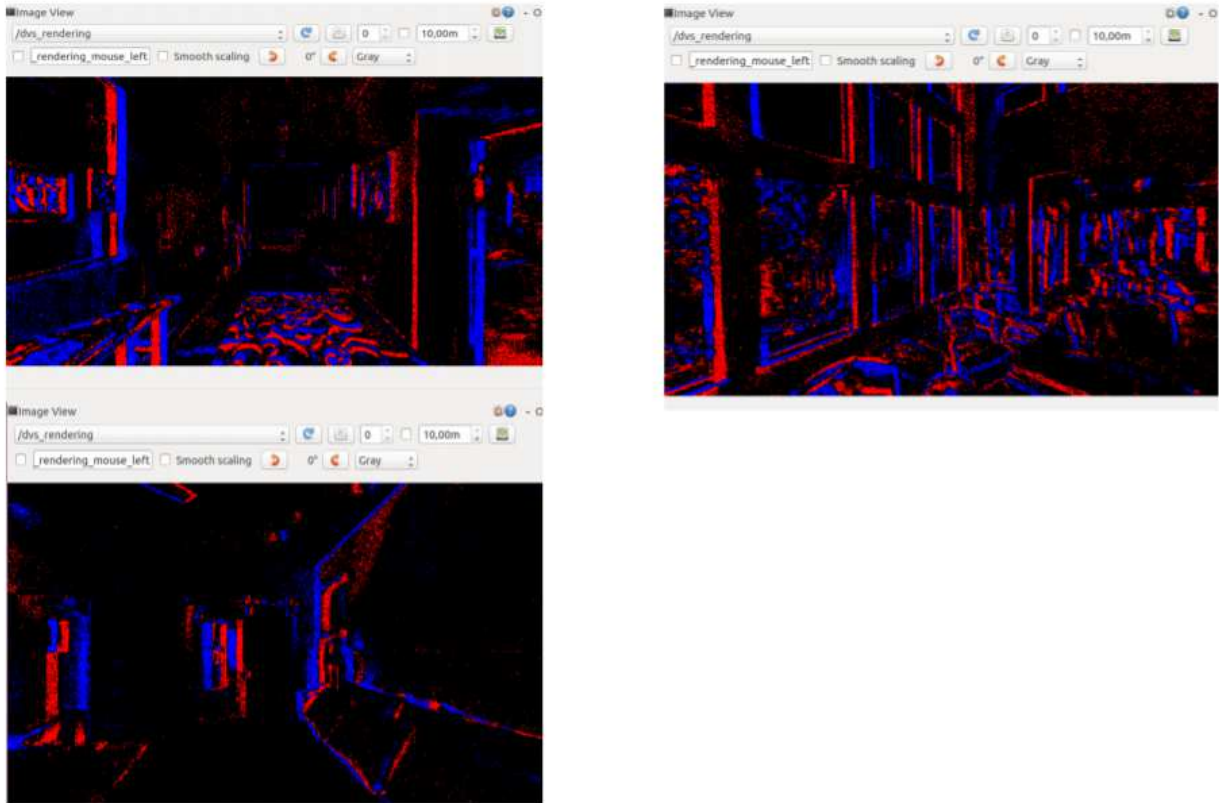


Figura 29: Screenshots della simulazione di eventi del video *drone\_cut.mkv*

### 4.3 ALGORITMO FINALE

In questa sezione si spiegherà l'algoritmo per arrivare al tracking di ostacoli attraverso camera ad eventi.

Per prima cosa, nella cartella *tmp/example* si va a prendere il file binario *out.bag* dove sono memorizzati tutti gli eventi.

Convertiamo il file *.bag* in un file *.csv* con questo comando:

```
rostopic echo /cam0/events -b /home/md/example/out.bag -p > out.bag
```

in modo tale da aprirlo correttamente con *LiberOfficer*. Il file *out.csv* è descritto in figura

A	B	C	D	E	F	G	H	I	J	K	L	M	N
id	field.header.seq	field.header.stamp	field.header.frame_id	field.height	field.width	field.events0.x	field.events0.y	field.events0.ts	field.events0.polarity	field.events1.x	field.events1.y	field.events1.ts	field.events1.polarity
2	3333259	0	3333259	360	640	186	262	3438739	1	398	61	3447058	1
3	6666144	0	6666144	360	640	132	203	3339496	0	387	262	3334490	1
4	9999709	0	9999709	360	640	502	140	6669241	1	201	340	6667290	1
5	13332092	0	13332092	360	640	177	309	10003241	1	588	226	10003490	0
6	16666453	0	16666453	360	640	640	297	13332560	0	48	82	13332344	1
7	19999934	0	19999934	360	640	103	14	16666818	0	27	48	16666954	1
8	23333213	0	23333213	360	640	560	227	20001018	1	149	58	20001348	1
9	26666664	0	26666664	360	640	437	28	23333471	1	72	66	23333472	0
10	299999151	0	299999151	360	640	113	26	26669198	1	444	29	266672021	1
11	33333206	0	33333206	360	640	257	244	30000968	1	478	145	30000215	0
12	36666213	0	36666213	360	640	380	187	33335225	1	455	56	33335682	1
13	399999080	0	399999080	360	640	534	229	366667893	0	563	245	366670982	1
14	43333253	0	43333253	360	640	588	106	40000244	0	456	250	40001199	1
15	466666554	0	466666554	360	640	480	272	433333433	1	287	325	43333572	1
16	499999869	0	499999869	360	640	225	217	466667825	0	508	21	466667974	1
17	533332110	0	533332110	360	640	279	22	500001314	1	72	291	500002484	1
18	566665655	0	566665655	360	640	624	165	533336333	0	497	209	533338523	1
19	599999250	0	599999250	360	640	359	145	566699137	1	79	105	566670568	1
20	633331925	0	633331925	360	640	46	167	600004418	0	240	116	600004637	1
21	666666054	0	666666054	360	640	606	106	633335199	1	633	151	633338243	1
22	699999481	0	699999481	360	640	150	67	666667843	1	587	153	666671989	1
23	73333276	0	73333276	360	640	417	301	700011499	1	426	269	700014341	1
24	766665295	0	766665295	360	640	167	183	733334185	1	533	231	733334588	1
25	799999584	0	799999584	360	640	485	212	766672478	1	175	206	766674747	0
26	833333145	0	833333145	360	640	481	170	800001407	1	100	343	800009349	1
27	866666374	0	866666374	360	640	153	346	833333352	0	452	310	833334923	0
28	899999861	0	899999861	360	640	457	268	866699467	1	202	40	866674872	1
29	933331518	0	933331518	360	640	354	97	900009191	0	96	136	900011797	0
30	966666075	0	966666075	360	640	481	338	933334939	0	175	72	933337663	1
31	999997408	0	999997408	360	640	453	179	966667790	0	117	172	966669992	1
32	103333101	0	103333101	360	640	568	248	100001415	0	49	314	100001983	1
33	106666494	0	106666494	360	640	232	280	1033337624	0	466	323	1033344345	1
34	109999773	0	109999773	360	640	479	333	1066668797	1	55	342	1066671955	0
35	113333138	0	113333138	360	640	165	78	1100001835	1	0	248	1100006521	1
36	116666281	0	116666281	360	640	508	232	1133333480	0	477	239	1133343641	1
37	119999354	0	119999354	360	640	550	324	1166667493	1	395	200	1166671719	0
38	123333207	0	123333207	360	640	385	251	1200005020	1	615	248	1200006465	0
39	126666372	0	126666372	360	640	5	10	1233339221	0	570	120	1233341477	1
40	1299999451	0	1299999451	360	640	586	98	1266671448	0	586	7	1266671944	1
41	133332388	0	133332388	360	640	294	310	1300001422	0	7	42	1300003795	0
42	1366664307	0	1366664307	360	640	97	74	1333336201	0	318	23	1333337661	1
43	1399999078	0	1399999078	360	640	99	261	1366671508	1	292	162	1366671740	1
44	1433332141	0	1433332141	360	640	291	83	1400000466	0	464	102	1400003499	1
45	146666292	0	146666292	360	640	508	252	1433336475	0	69	171	1433339538	0
46	149999899	0	149999899	360	640	282	188	1466672583	0	309	214	1466673957	1
47	153333166	0	153333166	360	640	561	114	1500002656	1	387	81	1500004963	0
48	1566664671	0	1566664671	360	640	138	74	1533335069	1	409	215	1533335542	0
49	1599999892	0	1599999892	360	640	428	68	1566671047	0	523	273	1566672182	1
50	163333141	0	163333141	360	640	486	312	1600002705	0	87	36	1600006376	0
51	1666663398	0	1666663398	360	640	156	352	1633335938	0	164	25	1633339346	0
52	1699999023	0	1699999023	360	640	326	47	1666666830	0	289	174	1666667638	1
53	1733333078	0	1733333078	360	640	249	245	1700000338	0	147	160	1700001370	0
54	1766666381	0	1766666381	360	640	445	126	1733335921	0	50	336	1733335147	0
55	1799999646	0	1799999646	360	640	478	65	176666750	0	462	306	1766669343	0
56	1833333146	0	1833333146	360	640	545	84	1800000482	0	450	343	1800000924	1

Figura 30: Screenshot del file out.bag

Attenzione: il file *out.csv* risulterà molto grande (avendo tagliato il video campione, in questo caso sarà grande 1,6Gb circa) quindi LiberOfficer non lo aprirà completamente, ma solo in parte).

Le colonne su cui si lavorerà per la stesura dell'algorithm sono:

- `field.height`, fa riferimento alla larghezza della camera;
- `field.width`, fa riferimento alla lunghezza della camera;
- `fields.eventsN.x/y`, fanno riferimento all'N-esimo evento che si verifica sul pixel di coordinate  $(x,y)$ ;
- `field.eventsN.ts`, fa riferimento all'istante di tempo, espresso in nanosecondi, in cui si verifica l'N-esimo evento;
- `field.eventsN.polarity`, fa riferimento alla polarità dell'N-esimo evento: 1 se il pixel percepisce un incremento di luminosità, 0 se percepisce un decremento.

Per ottenere il tracking di ostacoli, è necessario suddividere la simulazione di eventi in blocchi: ogni blocco farà riferimento ad un range di tempo arbitrario e

racchiuderà la matrice dove verranno inseriti i valori che fanno riferimento alla colonna `field.eventsN.polarity`.

L'algoritmo è stato pensato e sviluppato con l'editor PyCharm per rendere la sua stesura più veloce. Di seguito la stesura del codice:

```
import csv
import sys
import numpy as np
import matplotlib.pyplot as plt

maxInt = sys.maxsize
while True:
    try:
        csv.field_size_limit(maxInt)
        break
    except OverflowError:
        maxInt = int(maxInt / 10)

with open("/home/md/Documents/file.csv") as file_csv:
    reader = csv.reader(file_csv, delimiter=",")
    ncol = len(next(reader))
    file_csv.seek(0)
    pixels = np.zeros((360, 640))
    blocks = []
    i = 0
    blocksize = 200000000
    cond1 = 0
    cond2 = blocksize
    for riga in reader:
        i = i + 1
        if i == 1:
            continue
        for i in range(ncol):
            events = [(riga[6 + 4 * i]), (riga[7 + 4 * i]), (riga[8 + 4 * i]),
(riga[9 + 4 * i])]
            if cond1 < int(events[2]) <= cond2:
                if int(events[3]) == 1:
                    pixels[int(riga[7 + 4 * i]), int(riga[6 + 4 * i])] += 1
            else:
```

```

        pixels[int(riga[7 + 4 * i]), int(riga[6 + 4 * i])] -= 1
    else:
        blocks.append(pixels)
        pixels = np.zeros((360, 640))
        cond1 += blocksize
        cond2 += blocksize

```

```

plt.imshow(blocks[5])
plt.show()

```

Vengono inizialmente importate le librerie utili al lavoro svolto, quali *csv*, *sys*, *numpy* e *matplotlib*.

Dato che il file è troppo grande, si potrebbero avere problemi con l'apertura dello stesso con il comando *open()* della libreria *csv*, quindi si è utilizzata questa porzione di codice per evitare questo sgradevole inconveniente:

```

maxInt = sys.maxsize
while True:
    try:
        csv.field_size_limit(maxInt)
        break
    except OverflowError:
        maxInt = int(maxInt / 10)

```

Si apre il file attraverso la funzione *open()* della libreria *csv*

```

with open("/home/md/Documents/file.csv") as file_csv:
    reader = csv.reader(file_csv, delimiter=",")
    ncol = len(next(reader))
    file_csv.seek(0)

```

il reader legge il file *.csv* indicato e successivamente viene calcolato il numero di colonne che esso possiede ed il seguente valore viene salvato con la variabile *ncol*.

Poiché l'output di una camera è un'immagine contenente un determinato numero di pixel, la si può vedere come una matrice *nxm*, in questo caso 640x360, in cui verrà salvata la polarità dell'evento ogni volta che quest'ultimo

si manifesta, in modo tale da ottenere come risultato finale un flusso di eventi in un determinato lasso di tempo molto piccolo.

Per prima cosa si crea suddetta matrice attraverso la libreria *numpy* con `pixels = np.zeros((360, 640))` e si crea una lista *blocks* dove verranno salvate le matrici per ogni intervallo di tempo scelto.

Iterando sul reader, si salta la prima riga, chiamata anche *header*, dove sono scritti i nomi delle colonne a cui si riferiscono

```
for riga in reader:
    i = i + 1
    if i == 1:
        continue
```

Poi si itera sul numero di colonne:

```
for i in range(ncol):
    events = [(riga[6 + 4 * i]), (riga[7 + 4 * i]), (riga[8 + 4 * i]),
              (riga[9 + 4 * i])]
```

in modo tale da prendere in considerazione le colonne interessate, in cui:

- `riga[6 + 4 * i] ≡ fields.eventsN.x`
- `riga[7 + 4 * i] ≡ fields.eventsN.y`
- `riga[8 + 4 * i] ≡ fields.eventsN.ts`
- `riga[9 + 4 * i] ≡ fields.eventsN.polarity`

Poi si impone la condizione sul tempo, ovvero:

```
if cond1 < int(events[2]) <= cond2:
    if int(events[3]) == 1:
        pixels[int(riga[7 + 4 * i]), int(riga[6 + 4 * i])] += 1
    else:
        pixels[int(riga[7 + 4 * i]), int(riga[6 + 4 * i])] -= 1
```

`cond1` e `cond2` sono le condizioni inizializzate precedentemente: `cond1` ha valore 0, `cond2` è arbitrario, a seconda di come si vuole

sl'intervallo di tempo.

Se il valore intero di `events[3]`, ovvero gli elementi di `riga[8 + 4 * i]` è 1, cioè se avviene un incremento di luminosità, allora si accede alla posizione della matrice attraverso `(riga[7 + 4 * i], int(riga[6 + 4 * i]))` e si aggiunge il valore 1, altrimenti, se avviene un decremento di luminosità, si aggiunge -1. In questo modo, quando la condizione sul valore di `events[2]` non è più rispettata:

else:

```
blocks.append(pixels)
pixels = np.zeros((360, 640))
cond1 += blocksize
cond2 += blocksize
```

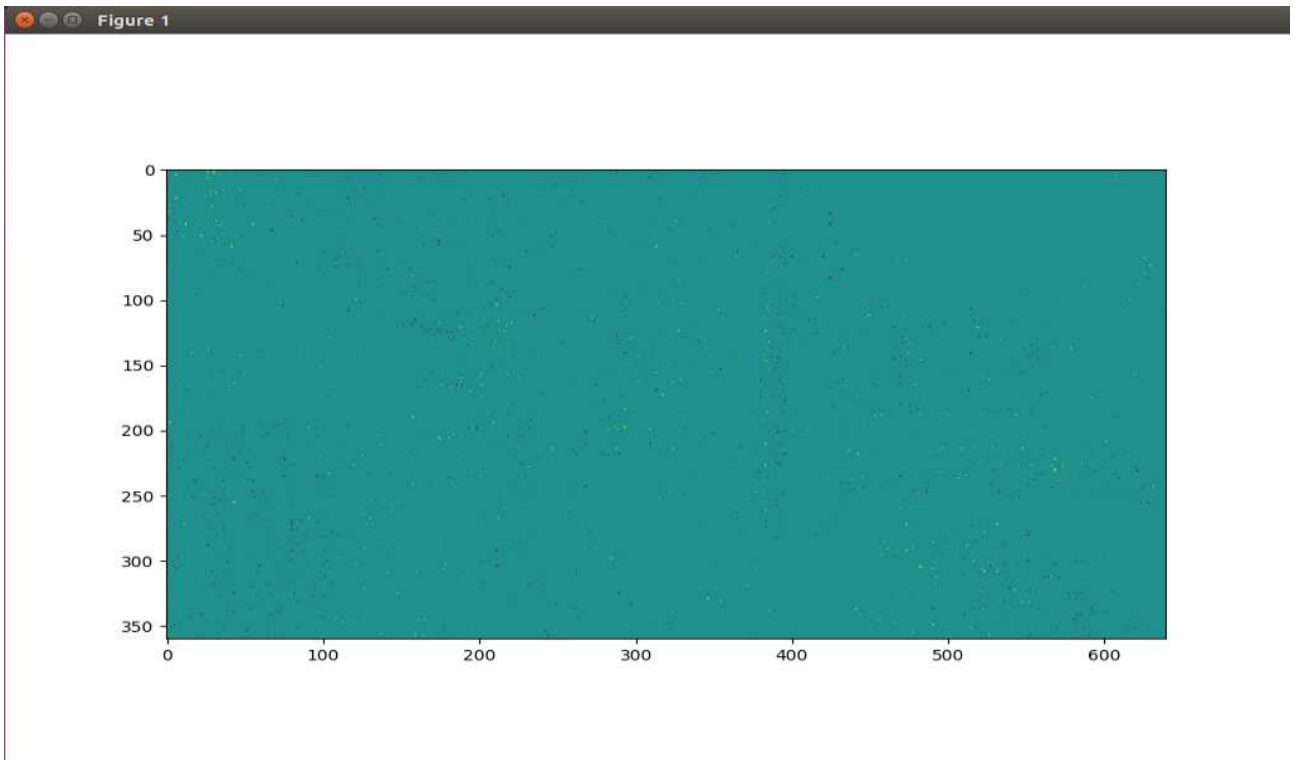
si aggiunge la matrice alla lista `blocks`, si azzera la matrice `pixels` e vengono incrementate le condizioni in modo tale da continuare a suddividere le simulazioni di eventi in blocchi in un intervallo di tempo stabilito.

Per visualizzare una matrice in un certo istante di tempo, basta utilizzare:

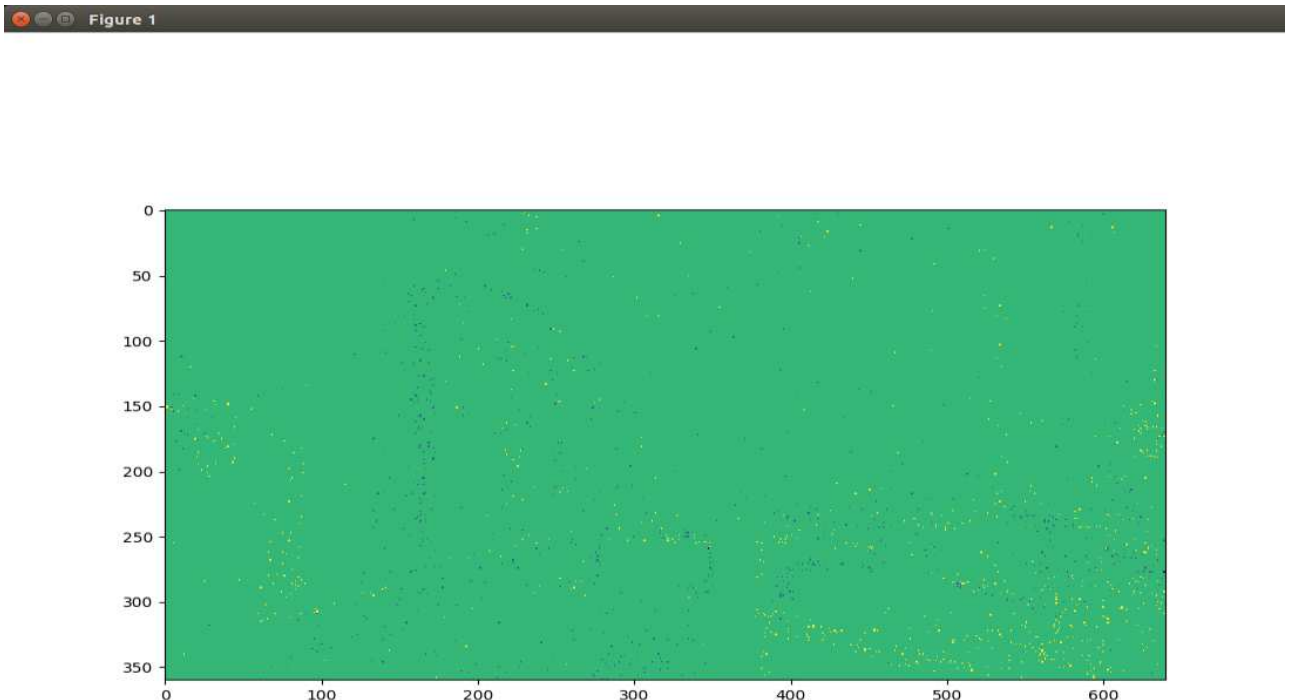
```
plt.imshow(blocks[5])
```

```
plt.show()
```

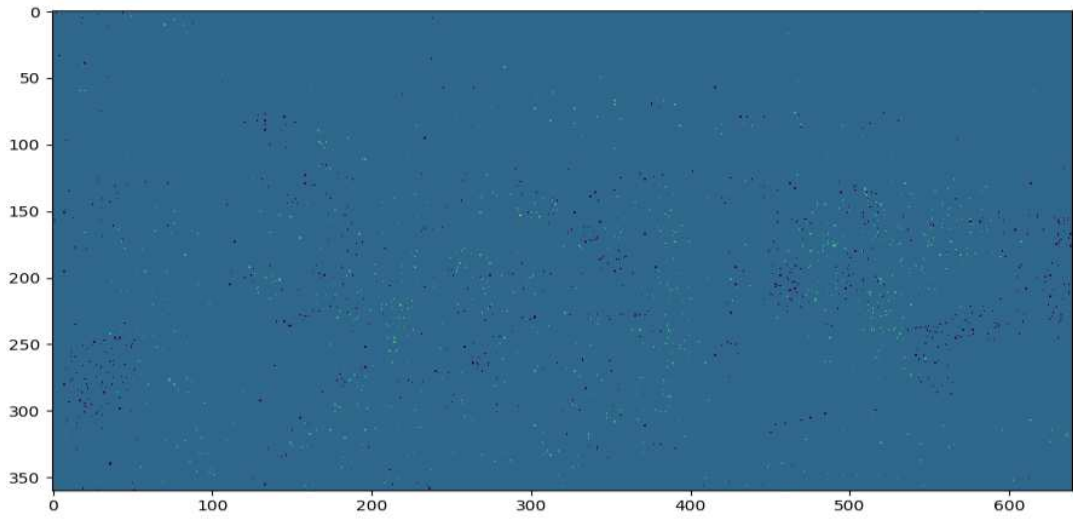
come visto nella figura.



*Figura 31: Screenshot del blocco 5 di eventi simulati*



*Figura 32: Screenshot del blocco 50 di eventi simulati*



*Figura 33: Screenshot del blocco 100 di eventi simulati*



# CONCLUSIONI

Le telecamere ad eventi sono sensori rivoluzionari che offrono molti vantaggi rispetto alle telecamere tradizionali basate su frame, come bassa latenza, bassa potenza, alta velocità e alta gamma dinamica. Pertanto, hanno un grande potenziale per la visione artificiale e le applicazioni robotiche in scenari difficili attualmente inaccessibili alle telecamere tradizionali. In questa tesi si è fornita una panoramica sul nuovo mondo degli eventi, descrivendo le camere ad eventi, gli strumenti utili per permettere una simulazione attraverso l'ESIM, con un algoritmo sperimentale per sbloccare le loro eccezionali proprietà in applicazioni selezionate.

Eseguendo i passi fatti finora e osservando attentamente i risultati ottenuti, le simulazioni dell'ESIM sono andate a buon fine e hanno dimostrato la potenzialità che questo simulatore offre in termini di:

- **affidabilità:** il simulatore è molto stabile e non presenta particolari problemi nel suo utilizzo;
- **leggerezza:** ESIM si è dimostrato incredibilmente fluido ed efficiente durante le operazioni, utilizzando le risorse dell'elaboratore in modo intelligente e limitato;
- **efficacia:** la simulazione si avvicina molto al funzionamento reale delle camere ad eventi, non solo in termini di verosimiglianza nell'output video, ma anche nella quantità di impostazioni disponibili (IMU, traiettorie della camera, calibrazione ecc.) che la rendono molto utile nello sviluppo di algoritmi;
- **documentazione:** la quantità e la qualità della documentazione disponibile rende l'ESIM facile e intuitivo nell'utilizzo pratico.

Grazie alla comprensione alquanto interessante e stimolante degli argomenti tratti finora e all'utilizzo del simulatore, si riesce inoltre a lavorare molto bene all'interno del mondo delle camere ad eventi.

In particolare l'obiettivo della tesi era il tracking di ostacoli utilizzando appunto un simulatore di eventi in mancanza della camera ad eventi.

Il codice permette la suddivisione in blocchi, relativi ad un certo intervallo di tempo, del flusso di eventi generato dal simulatore. Questo risultato si mostrerà utile per il tracking degli oggetti combinando l'algoritmo spiegato nel capitolo precedente con YOLOv3 che permette la rilevazione di oggetti attraverso le bounding boxes fornendo la classe dell'oggetto rilevato e la confidenza. Combinando frame ed eventi sarà dunque possibile effettuare un tracking robusto ed a alta velocità.

# RINGRAZIAMENTI

Mai, e sottolineo mai, avrei pensato di arrivare a scrivere i ringraziamenti alla fine della mia tesi di laurea. Anzi, mai avrei pensato di laurearmi.

Ho sognato per tanto tempo questo momento: dopo tante gioie, dolori, problemi e tanta ma tanta garra posso dire anche io che ce l'ho fatta.

Devo essere sincero, non so quante persone dovrei ringraziare: in quattro anni di università ho conosciuto tantissime persone con cui ho condiviso tante cose nel bene o nel male. Tutto ciò che mi è capitato l'ho trasformato in esperienze positive, credo che anche questo mi abbia fatto arrivare alla fine di questo percorso.

Innanzitutto, vorrei ringraziare il mio Relatore, il Professor Adriano Mancini, che mi ha permesso di svolgere questo progetto. È stato molto stimolante per me conoscere questo nuovo argomento e non la ringrazierò mai abbastanza per l'opportunità. Lei è veramente un grande Professore.

Vorrei ringraziare i miei due gruppi di amici, la 'Crew dei Cristalli' e 'KK', per essere stati al mio fianco in ogni momento della mia vita.

Non scorderò mai tutte le volte che ci sono divertiti insieme, abbiamo condiviso qualunque cosa e senza di voi non ce l'avrei mai fatta.

Vi voglio troppo bene ragazzi.

Volevo ringraziare i miei amici dell'Università, Antonio, Giulia, Paolo, Tommaso, Giacomo, Francesco e Carlo. Siete delle persone fantastiche, studiare con voi è stato bellissimo e vi ringrazio per avermi aiutato a crescere come studente e ampliato il mio bagaglio culturale.

Un ringraziamento speciale va ad Antonio, Paolo e Giulia che sono state le persone che mi sono state più vicino in questi 4 anni di Università, spero che le nostre strade si incoceranno di nuovo in futuro, che il vento vi sia sempre in poppa.

Ovviamente non dimenticherò di ringraziare i miei coinquilini Matteo, Luigi e

Luca 'il ninja'. Grazie per aver dato un po' di colore alla mia vita universitaria, siete stati i coinquilini migliori che una persona potesse desiderare.

Ultimi ringraziamenti, ma non per importanza, vanno alle mie due famiglie.

Non riesco a esprimere la gratitudine che ho nei vostri confronti per avermi sopportato e supportato in ogni situazione, per avermi fatto crescere come uomo. Grazie per avermi regalato questa esperienza favolosa che ho vissuto, tutti i sacrifici che avete fatto per me verranno ripagati.

Ora che questo ciclo si è finalmente concluso, ne aprirò un altro, più grande e sicuramente più bello del precedente.

Questa tesi la dedico ai miei fratelli Luca, Riccardo, Pietro e Tommaso: siete la mia vita.

# BIBLIOGRAFIA

- [1] User Guide -DVS128 Dynamic Vision Sensor
- [2] Event-based Vision: A Survey Guillermo Gallego, Tobi Delbruck, Garrick Orchard, Chiara Bartolozzi, Brian Taba, Andrea Censi, " Stefan Leutenegger, Andrew J. Davison, Jorg Conradt, Kostas Daniilidis, Davide Scaramuzza
- [3] KIM, Hanme; LEUTENEGGER, Stefan; DAVISON, Andrew J. Real-time 3D reconstruction and 6-DoF tracking with an event camera. In: European Conference on Computer Vision. Springer, Cham, 2016. p. 349-364. [4] Inivation <https://inivation.com/>
- [5] Robot Operating System (ROS) <https://www.ros.org/>
- [6] ETH Zurich - Programming for Robotics - <https://ethz.ch/content/dam/ethz/special-interest/mavt/robotics-n-intelligent-systems/rsl-dam/ROS2019/ROS%20Course%20Slides%20Course%201.pdf>
- [7] –Python (<https://www.python.org/>)
- [8] –Ffmpeg (<https://ffmpeg.org/>)
- [9] ESIM: an Open Event Camera Simulator Henri Rebecq, Daniel Gehrig, Davide Scaramuzza Robotics and Perception Group Depts. Informatics and Neuroinformatics University of Zurich and ETH Zurich
- [10] Event Camera - [https://en.wikipedia.org/wiki/Event\\_camera](https://en.wikipedia.org/wiki/Event_camera)
- [11] YOLO: Real-Time Object Detection <https://arxiv.org/abs/1804.02767>
- [12] Spindox – YOLO, un algoritmo ultraveloce open source per la computer vision in tempo reale - <https://www.spindox.it/it/blog/yolo-riconoscimento-oggetti-real-time/>